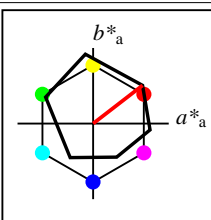


ORS18

	$L^*=L^*_a$	a^*_a	b^*_a	$C^*_{ab,a}$	$h^*_{ab,a}$
O _M	47.94	65.31	52.07	83.53	39
Y _M	90.37	-11.15	96.17	96.82	97
L _M	50.9	-62.96	36.71	72.89	150
C _M	58.62	-30.62	-42.74	52.59	234
V _M	25.72	31.45	-44.35	54.38	305
M _M	48.13	75.2	-6.79	75.51	355
N _M	18.01	0.5	-0.46	0.69	317
W _M	95.41	-0.98	4.76	4.86	102
R _{CIE}	39.92	58.74	27.99	65.07	25
J _{CIE}	81.26	-2.88	71.56	71.62	92
G _{CIE}	52.23	-42.41	13.6	44.55	162
B _{CIE}	30.57	1.41	-46.46	46.49	272

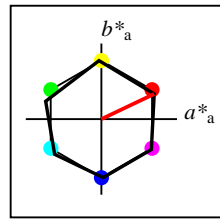
%Umfang
 $u^*_{rel} = 94$
%Regularität
 $g^*_{H,rel} = 58$
 $g^*_{C,rel} = 54$



ORS18a; adaptierte CIELAB-Daten

	$L^*=L^*_a$	a^*_a	b^*_a	$C^*_{ab,a}$	$h^*_{ab,a}$
O _{Ma}	47.94	65.39	50.52	82.63	38
Y _{Ma}	90.37	-10.26	91.75	92.32	96
L _{Ma}	50.9	-62.83	34.96	71.91	151
C _{Ma}	58.62	-30.34	-45.01	54.3	236
V _{Ma}	25.72	31.1	-44.4	54.22	305
M _{Ma}	48.13	75.28	-8.36	75.74	354
N _{Ma}	18.01	0.0	0.0	0.0	0
W _{Ma}	95.41	0.0	0.0	0.0	0
R _{CIE}	39.92	58.66	26.98	64.57	25
J _{CIE}	81.26	-2.16	67.76	67.79	92
G _{CIE}	52.23	-42.25	11.76	43.87	164
B _{CIE}	30.57	1.15	-46.84	46.86	271

%Umfang
 $u^*_{rel} = 93$
%Regularität
 $g^*_{H,rel} = 57$
 $g^*_{C,rel} = 59$

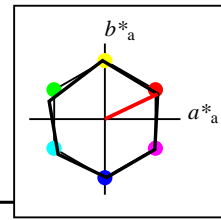


NRS18a; adaptierte CIELAB-Daten

	$L^*=L^*_a$	a^*_a	b^*_a	$C^*_{ab,a}$	$h^*_{ab,a}$
O _{Ma}	56.71	69.87	33.29	77.4	25
Y _{Ma}	56.71	-3.1	77.34	77.4	92
L _{Ma}	56.71	-73.68	23.63	77.39	162
C _{Ma}	56.71	-61.81	-46.54	77.39	217
V _{Ma}	56.71	2.35	-77.34	77.39	272
M _{Ma}	56.71	66.07	-40.3	77.4	329
N _{Ma}	18.01	0.0	0.0	0.0	0
W _{Ma}	95.41	0.0	0.0	0.0	0
R _{CIE}	39.92	58.74	27.99	65.07	25
J _{CIE}	81.26	-2.88	71.56	71.62	92
G _{CIE}	52.23	-42.41	13.6	44.55	162
B _{CIE}	30.57	1.41	-46.46	46.49	272

%Umfang
 $u^*_{rel} = 100$
%Regularität
 $g^*_{H,rel} = 78$
 $g^*_{C,rel} = 100$

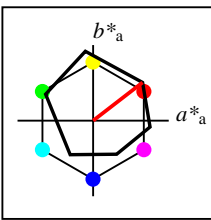
Workflow-Wahlen
für Farbmuster:
1. keine Farbänderung
2. Bunnton-Änderung
3. Buntheits-Änderung



NRS18a; adaptierte CIELAB-Daten

	$L^*=L^*_a$	a^*_a	b^*_a	$C^*_{ab,a}$	$h^*_{ab,a}$
O _{Ma}	56.71	69.87	33.29	77.4	25
Y _{Ma}	56.71	-3.1	77.34	77.4	92
L _{Ma}	56.71	-73.68	23.63	77.39	162
C _{Ma}	56.71	-61.81	-46.54	77.39	217
V _{Ma}	56.71	2.35	-77.34	77.39	272
M _{Ma}	56.71	66.07	-40.3	77.4	329
N _{Ma}	18.01	0.0	0.0	0.0	0
W _{Ma}	95.41	0.0	0.0	0.0	0
R _{CIE}	39.92	58.74	27.99	65.07	25
J _{CIE}	81.26	-2.88	71.56	71.62	92
G _{CIE}	52.23	-42.41	13.6	44.55	162
B _{CIE}	30.57	1.41	-46.46	46.49	272

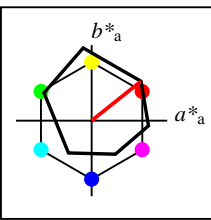
%Umfang
 $u^*_{rel} = 100$
%Regularität
 $g^*_{H,rel} = 78$
 $g^*_{C,rel} = 100$



ORS18a; adaptierte CIELAB-Daten

	$L^*=L^*_a$	a^*_a	b^*_a	$C^*_{ab,a}$	$h^*_{ab,a}$
O _{Ma}	47.94	65.39	50.52	82.63	38
Y _{Ma}	90.37	-10.26	91.75	92.32	96
L _{Ma}	50.9	-62.83	34.96	71.91	151
C _{Ma}	58.62	-30.34	-45.01	54.3	236
V _{Ma}	25.72	31.1	-44.4	54.22	305
M _{Ma}	48.13	75.28	-8.36	75.74	354
N _{Ma}	18.01	0.0	0.0	0.0	0
W _{Ma}	95.41	0.0	0.0	0.0	0
R _{CIE}	39.92	58.66	26.98	64.57	25
J _{CIE}	81.26	-2.16	67.76	67.79	92
G _{CIE}	52.23	-42.25	11.76	43.87	164
B _{CIE}	30.57	1.15	-46.84	46.86	271

%Umfang
 $u^*_{rel} = 93$
%Regularität
 $g^*_{H,rel} = 57$
 $g^*_{C,rel} = 59$

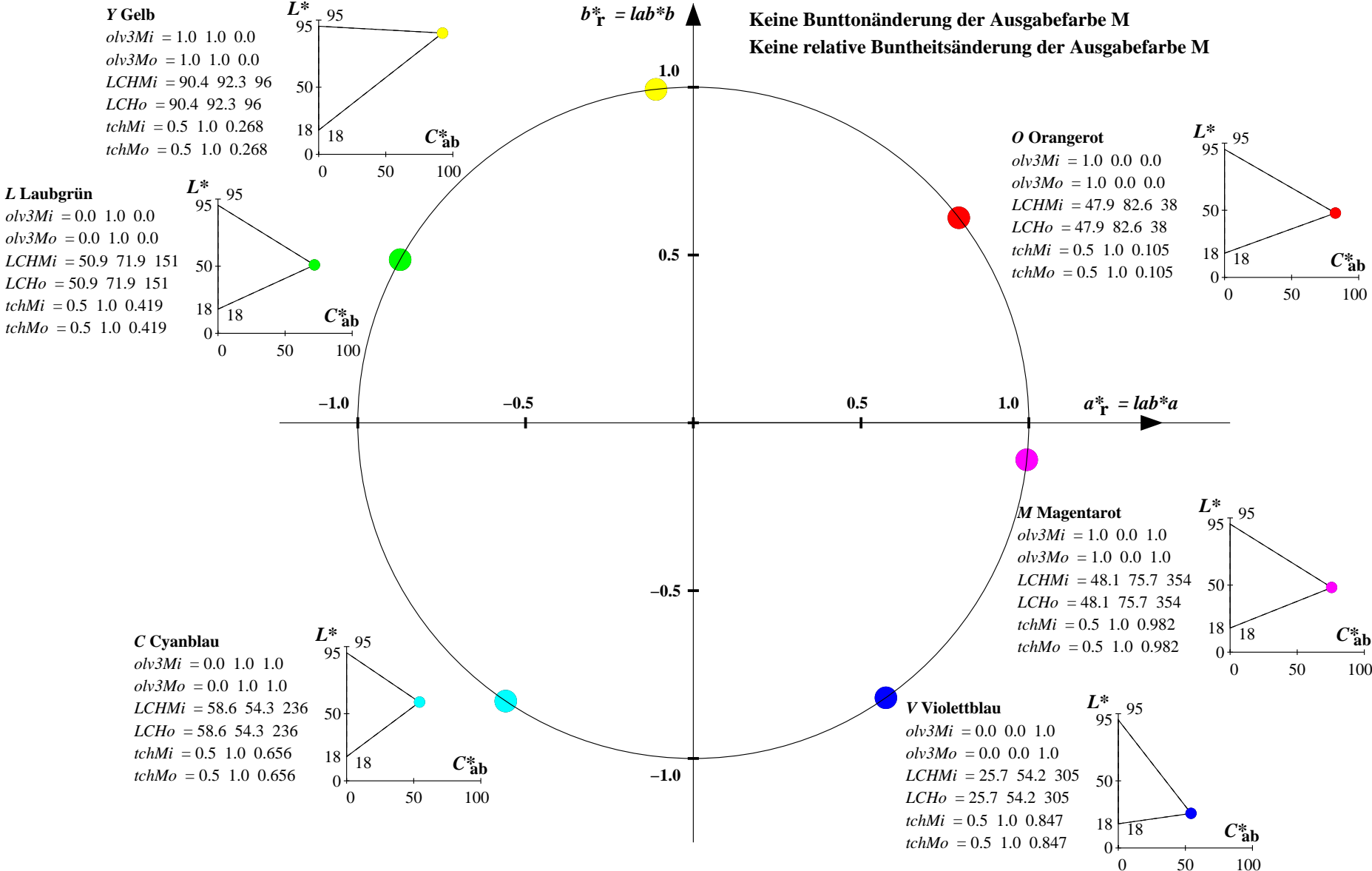


ORS18

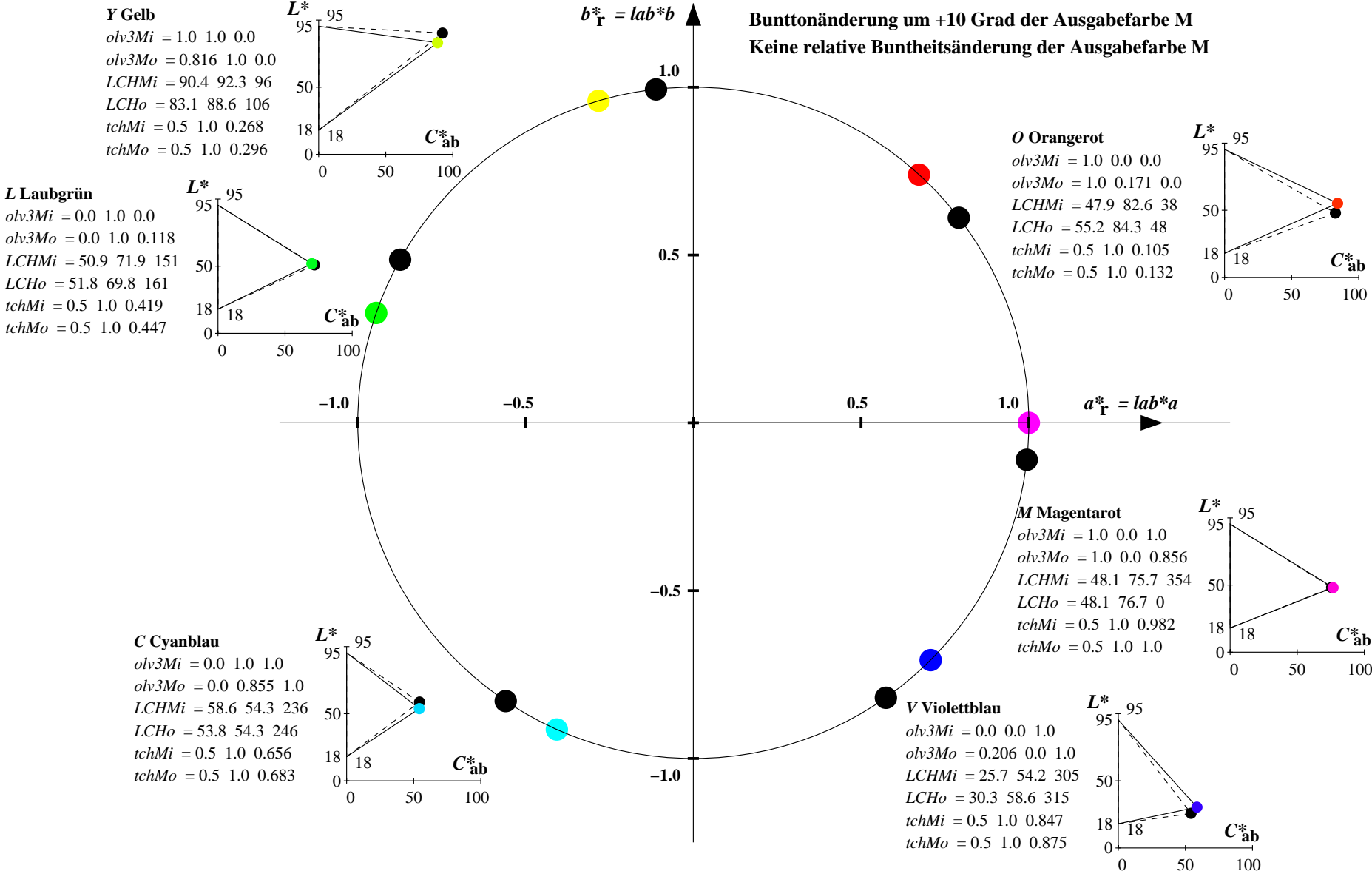
	$L^*=L^*_a$	a^*_a	b^*_a	$C^*_{ab,a}$	$h^*_{ab,a}$
O _M	47.94	65.31	52.07	83.53	39
Y _M	90.37	-11.15	96.17	96.82	97
L _M	50.9	-62.96	36.71	72.89	150
C _M	58.62	-30.62	-42.74	52.59	234
V _M	25.72	31.45	-44.35	54.38	305
M _M	48.13	75.2	-6.79	75.51	355
N _M	18.01	0.5	-0.46	0.69	317
W _M	95.41	-0.98	4.76	4.86	102
R _{CIE}	39.92	58.74	27.99	65.07	25
J _{CIE}	81.26	-2.88	71.56	71.62	92
G _{CIE}	52.23	-42.41	13.6	44.55	162
B _{CIE}	30.57	1.41	-46.46	46.49	272

%Umfang
 $u^*_{rel} = 94$
%Regularität
 $g^*_{H,rel} = 58$
 $g^*_{C,rel} = 54$

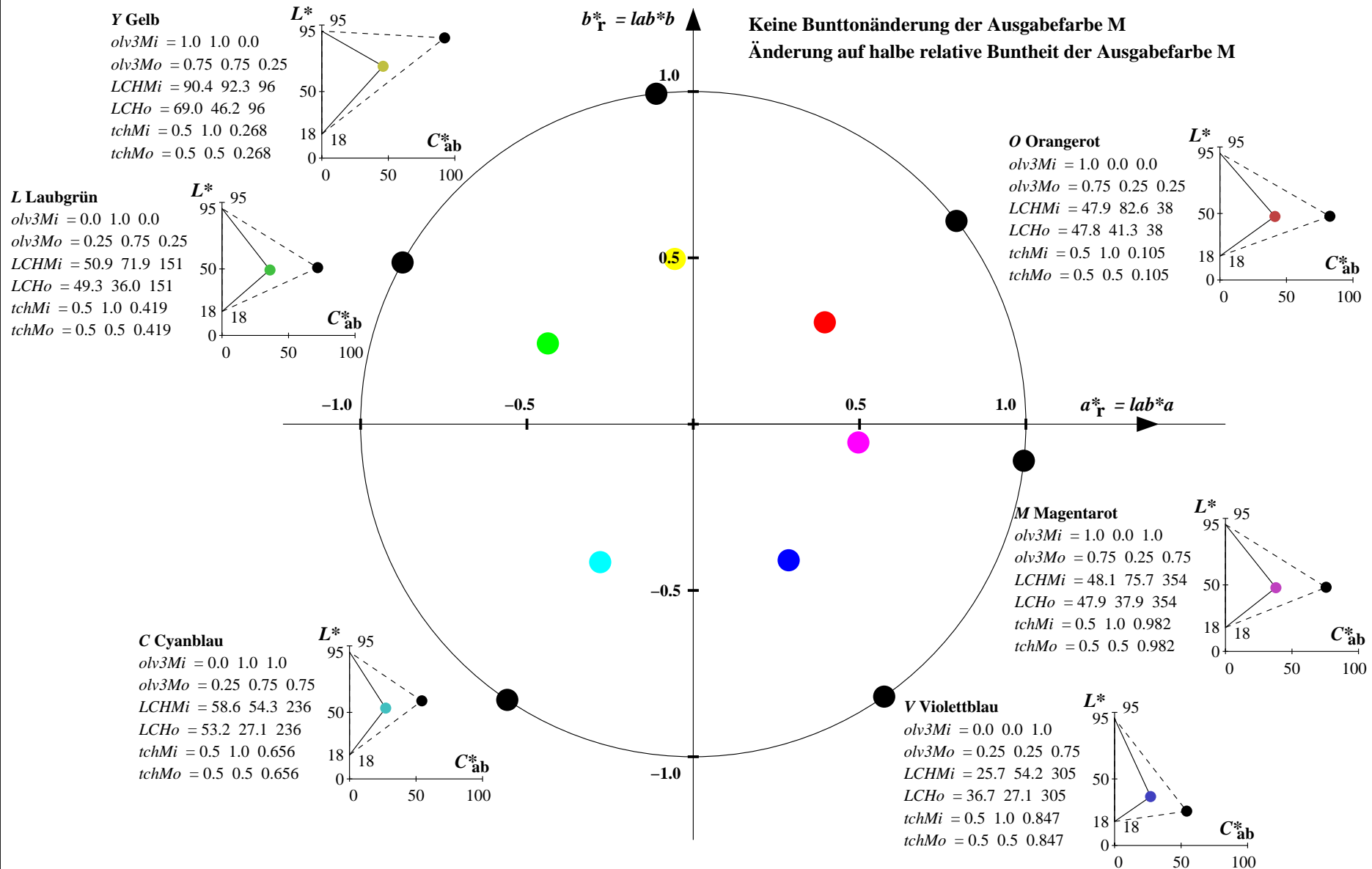
Relatives CIELAB-Buntheitsdiagramm: ($a^*_R = lab^*a$, $b^*_R = lab^*b$) und absolutes CIELAB Bunttondreiecks-Diagramm: (L^* , C^*_{ab}) für Ein- (---) und Ausgabe (----) ORS18: Eingabe (i) Farbmatrik-System; Sechs Bunttonwinkel des Farbgerätes: (37.7, 96.4, 150.9, 236.0, 305.0, 353.7); Vier Bunttonwinkel der Elementarfarben: (24.7, 91.8, 164.5, 271.4) ORS18: Ausgabe (o) Farbmatrik-System; Sechs Bunttonwinkel des Farbgerätes: (37.7, 96.4, 150.9, 236.0, 305.0, 353.7); Vier Bunttonwinkel der Elementarfarben: (24.7, 91.8, 164.5, 271.4)

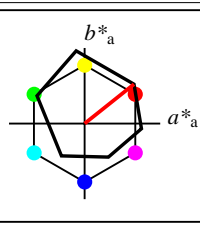


Relatives CIELAB-Buntheitsdiagramm: ($a^*_R = lab^*a$, $b^*_R = lab^*b$) und absolutes CIELAB Bunttondreiecks-Diagramm: (L^* , C^*_{ab}) für Ein- (---) und Ausgabe (----) ORS18: Eingabe (i) Farbmatrik-System; Sechs Bunttonwinkel des Farbgerätes: (37.7, 96.4, 150.9, 236.0, 305.0, 353.7); Vier Bunttonwinkel der Elementarfarben: (24.7, 91.8, 164.5, 271.4)
ORS18: Ausgabe (o) Farbmatrik-System; Sechs Bunttonwinkel des Farbgerätes: (37.7, 96.4, 150.9, 236.0, 305.0, 353.7); Vier Bunttonwinkel der Elementarfarben: (24.7, 91.8, 164.5, 271.4)



Relatives CIELAB-Buntheitsdiagramm: ($a^*_R = lab^*a$, $b^*_R = lab^*b$) und absolutes CIELAB Bunttondreiecks-Diagramm: (L^* , C^*_{ab}) für Ein- (---) und Ausgabe (----) ORS18: Eingabe (i) Farbmatrik-System; Sechs Bunttonwinkel des Farbgerätes: (37.7, 96.4, 150.9, 236.0, 305.0, 353.7); Vier Bunttonwinkel der Elementarfarben: (24.7, 91.8, 164.5, 271.4)
ORS18: Ausgabe (o) Farbmatrik-System; Sechs Bunttonwinkel des Farbgerätes: (37.7, 96.4, 150.9, 236.0, 305.0, 353.7); Vier Bunttonwinkel der Elementarfarben: (24.7, 91.8, 164.5, 271.4)

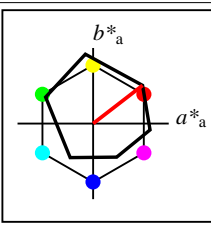




ORS18

	$L^*=L^*_a$	a^*_a	b^*_a	$C^*_{ab,a}$	$h^*_{ab,a}$
O _M	47.94	65.31	52.07	83.53	39
Y _M	90.37	-11.15	96.17	96.82	97
L _M	50.9	-62.96	36.71	72.89	150
C _M	58.62	-30.62	-42.74	52.59	234
V _M	25.72	31.45	-44.35	54.38	305
M _M	48.13	75.2	-6.79	75.51	355
N _M	18.01	0.5	-0.46	0.69	317
W _M	95.41	-0.98	4.76	4.86	102
R _{CIE}	39.92	58.74	27.99	65.07	25
J _{CIE}	81.26	-2.88	71.56	71.62	92
G _{CIE}	52.23	-42.41	13.6	44.55	162
B _{CIE}	30.57	1.41	-46.46	46.49	272

%Umfang
 $u^*_{rel} = 94$
%Regularität
 $g^*_{H,rel} = 58$
 $g^*_{C,rel} = 54$

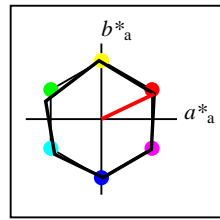


ORS18a; adaptierte CIELAB-Daten

	$L^*=L^*_a$	a^*_a	b^*_a	$C^*_{ab,a}$	$h^*_{ab,a}$
O _{Ma}	47.94	65.39	50.52	82.63	38
Y _{Ma}	90.37	-10.26	91.75	92.32	96
L _{Ma}	50.9	-62.83	34.96	71.91	151
C _{Ma}	58.62	-30.34	-45.01	54.3	236
V _{Ma}	25.72	31.1	-44.4	54.22	305
M _{Ma}	48.13	75.28	-8.36	75.74	354
N _{Ma}	18.01	0.0	0.0	0.0	0
W _{Ma}	95.41	0.0	0.0	0.0	0
R _{CIE}	39.92	58.66	26.98	64.57	25
J _{CIE}	81.26	-2.16	67.76	67.79	92
G _{CIE}	52.23	-42.25	11.76	43.87	164
B _{CIE}	30.57	1.15	-46.84	46.86	271

%Umfang
 $u^*_{rel} = 93$
%Regularität
 $g^*_{H,rel} = 57$
 $g^*_{C,rel} = 59$

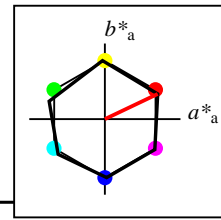
Workflow-Wahlen
für Farbmuster:
1. keine Farbänderung
2. Bunnton-Änderung
3. Buntheits-Änderung



NRS18a; adaptierte CIELAB-Daten

	$L^*=L^*_a$	a^*_a	b^*_a	$C^*_{ab,a}$	$h^*_{ab,a}$
O _{Ma}	56.71	69.87	33.29	77.4	25
Y _{Ma}	56.71	-3.1	77.34	77.4	92
L _{Ma}	56.71	-73.68	23.63	77.39	162
C _{Ma}	56.71	-61.81	-46.54	77.39	217
V _{Ma}	56.71	2.35	-77.34	77.39	272
M _{Ma}	56.71	66.07	-40.3	77.4	329
N _{Ma}	18.01	0.0	0.0	0.0	0
W _{Ma}	95.41	0.0	0.0	0.0	0
R _{CIE}	39.92	58.74	27.99	65.07	25
J _{CIE}	81.26	-2.88	71.56	71.62	92
G _{CIE}	52.23	-42.41	13.6	44.55	162
B _{CIE}	30.57	1.41	-46.46	46.49	272

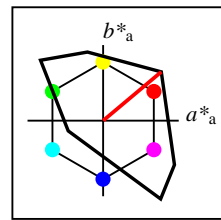
%Umfang
 $u^*_{rel} = 100$
%Regularität
 $g^*_{H,rel} = 78$
 $g^*_{C,rel} = 100$



NRS18a; adaptierte CIELAB-Daten

	$L^*=L^*_a$	a^*_a	b^*_a	$C^*_{ab,a}$	$h^*_{ab,a}$
O _{Ma}	56.71	69.87	33.29	77.4	25
Y _{Ma}	56.71	-3.1	77.34	77.4	92
L _{Ma}	56.71	-73.68	23.63	77.39	162
C _{Ma}	56.71	-61.81	-46.54	77.39	217
V _{Ma}	56.71	2.35	-77.34	77.39	272
M _{Ma}	56.71	66.07	-40.3	77.4	329
N _{Ma}	18.01	0.0	0.0	0.0	0
W _{Ma}	95.41	0.0	0.0	0.0	0
R _{CIE}	39.92	58.74	27.99	65.07	25
J _{CIE}	81.26	-2.88	71.56	71.62	92
G _{CIE}	52.23	-42.41	13.6	44.55	162
B _{CIE}	30.57	1.41	-46.46	46.49	272

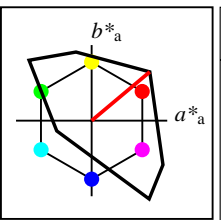
%Umfang
 $u^*_{rel} = 100$
%Regularität
 $g^*_{H,rel} = 78$
 $g^*_{C,rel} = 100$



TLS00a; adaptierte CIELAB-Daten

	$L^*=L^*_a$	a^*_a	b^*_a	$C^*_{ab,a}$	$h^*_{ab,a}$
O _{Ma}	50.5	76.92	64.55	100.42	40
Y _{Ma}	92.66	-20.69	90.75	93.08	103
L _{Ma}	83.63	-82.75	79.9	115.04	136
C _{Ma}	86.88	-46.16	-13.55	48.12	196
V _{Ma}	30.39	76.06	-103.59	128.52	306
M _{Ma}	57.3	94.35	-58.41	110.97	328
N _{Ma}	0.01	0.0	0.0	0.0	0
W _{Ma}	95.41	0.0	0.0	0.0	0
R _{CIE}	39.92	58.74	27.99	65.07	25
J _{CIE}	81.26	-2.88	71.56	71.62	92
G _{CIE}	52.23	-42.41	13.6	44.55	162
B _{CIE}	30.57	1.41	-46.46	46.49	272

%Umfang
 $u^*_{rel} = 158$
%Regularität
 $g^*_{H,rel} = 20$
 $g^*_{C,rel} = 37$

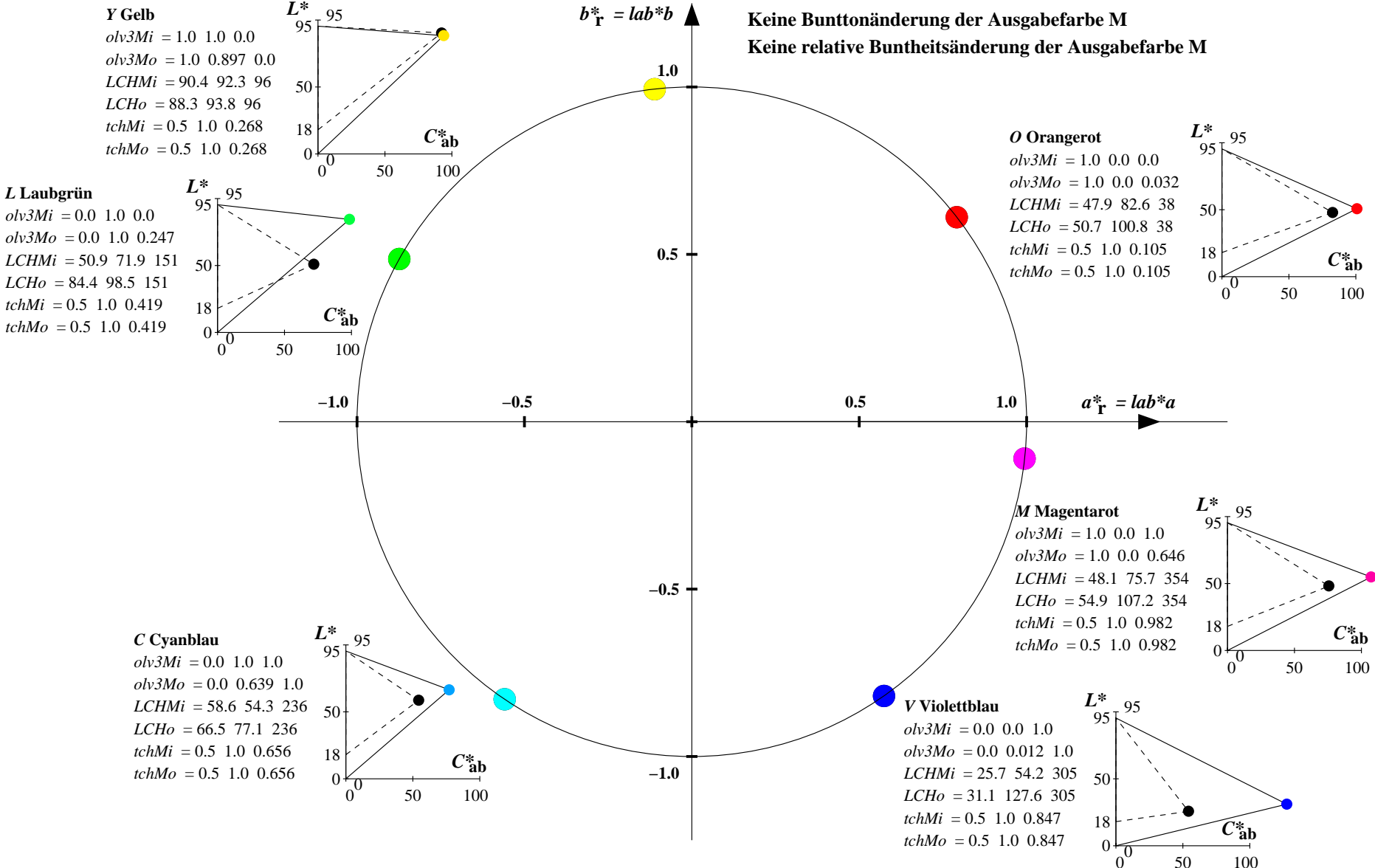


TLS00

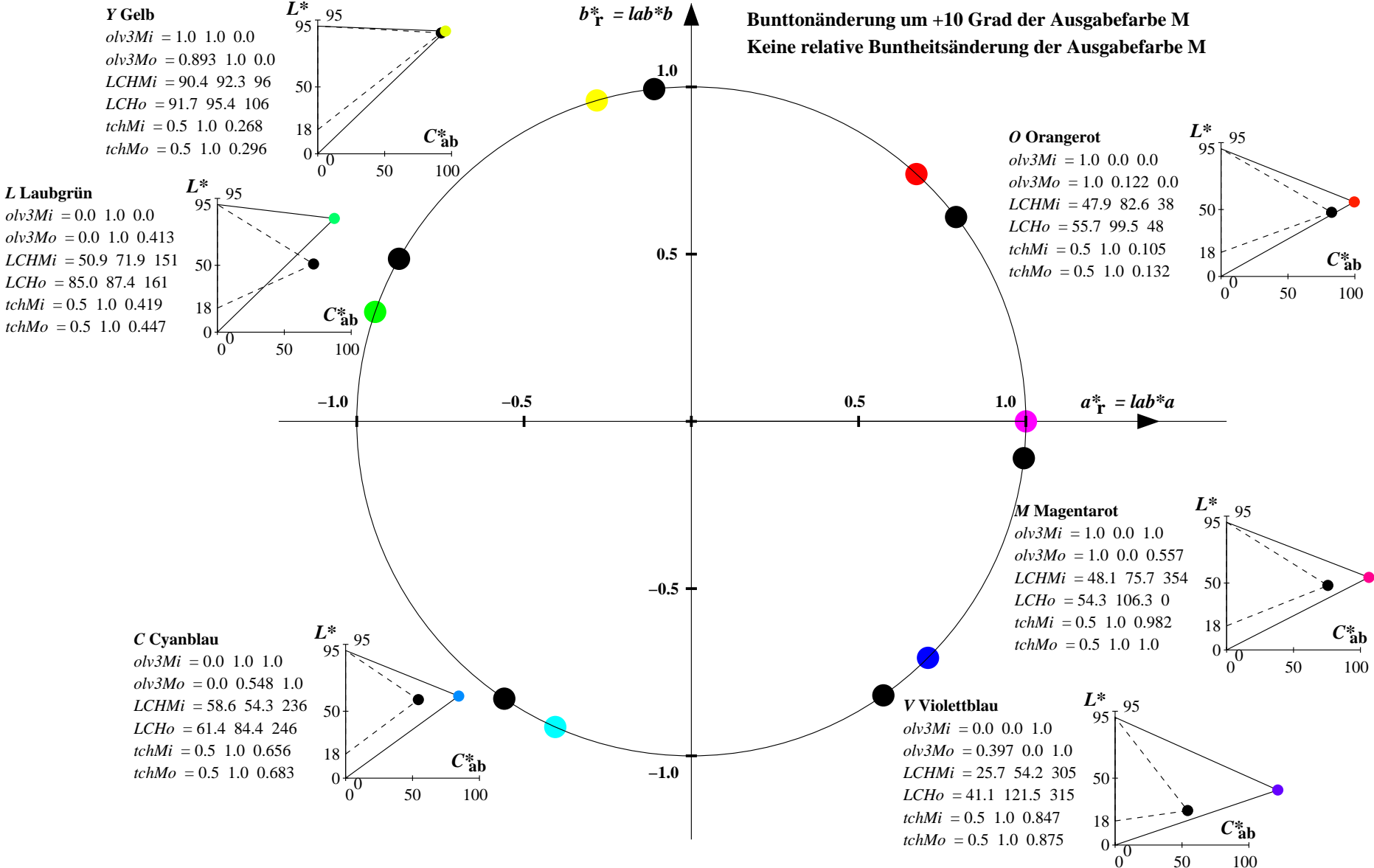
	$L^*=L^*_a$	a^*_a	b^*_a	$C^*_{ab,a}$	$h^*_{ab,a}$
O _M	50.5	76.92	64.55	100.42	40
Y _M	92.66	-20.69	90.75	93.08	103
L _M	83.63	-82.75	79.9	115.04	136
C _M	86.88	-46.16	-13.55	48.12	196
V _M	30.39	76.06	-103.59	128.52	306
M _M	57.3	94.35	-58.41	110.97	328
N _M	0.01	0.0	0.0	0.0	0
W _M	95.41	0.0	0.0	0.0	0
R _{CIE}	39.92	58.74	27.99	65.07	25
J _{CIE}	81.26	-2.88	71.56	71.62	92
G _{CIE}	52.23	-42.41	13.6	44.55	162
B _{CIE}	30.57	1.41	-46.46	46.49	272

%Umfang
 $u^*_{rel} = 158$
%Regularität
 $g^*_{H,rel} = 20$
 $g^*_{C,rel} = 37$

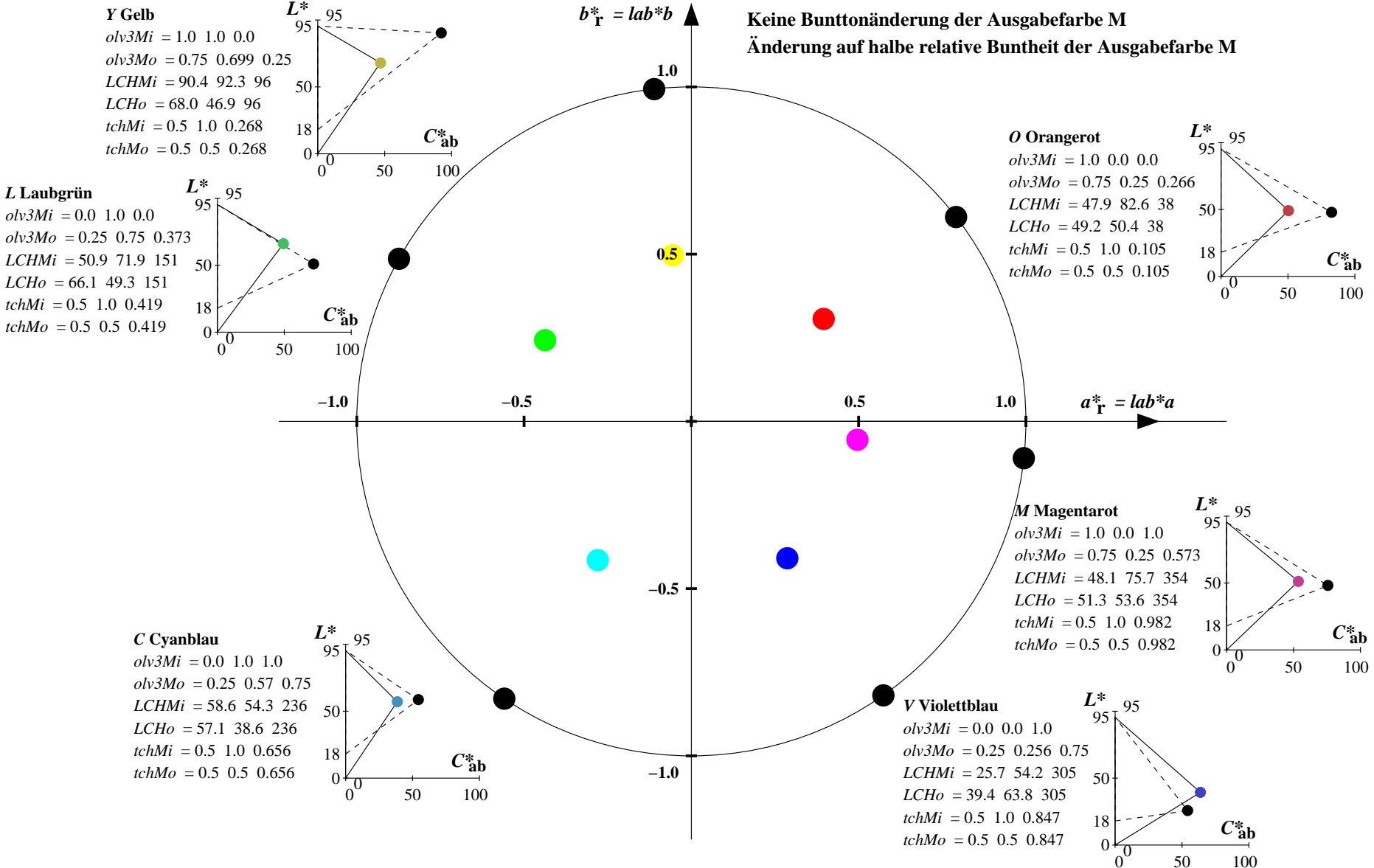
Relatives CIELAB-Buntheitsdiagramm: ($a^*_R = lab^*a$, $b^*_R = lab^*b$) und absolutes CIELAB Bunttondreiecks-Diagramm: (L^* , C^*_{ab}) für Ein- (---) und Ausgabe (----) ORS18: Eingabe (i) Farbmatrik-System; Sechs Bunttonwinkel des Farbgerätes: (37.7, 96.4, 150.9, 236.0, 305.0, 353.7); Vier Bunttonwinkel der Elementarfarben: (24.7, 91.8, 164.5, 271.4) TLS00: Ausgabe (o) Farbmatrik-System; Sechs Bunttonwinkel des Farbgerätes: (40.0, 102.8, 136.0, 196.4, 306.3, 328.2); Vier Bunttonwinkel der Elementarfarben: (25.5, 92.3, 162.2, 271.7)

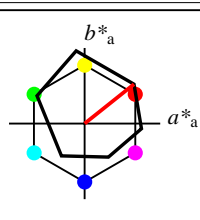


Relatives CIELAB-Buntheitsdiagramm: ($a^*_R = lab^*a$, $b^*_R = lab^*b$) und absolutes CIELAB Bunttondreiecks-Diagramm: (L^* , C^*_{ab}) für Ein- (---) und Ausgabe (----) ORS18: Eingabe (i) Farbmatrik-System; Sechs Bunttonwinkel des Farbgerätes: (37.7, 96.4, 150.9, 236.0, 305.0, 353.7); Vier Bunttonwinkel der Elementarfarben: (24.7, 91.8, 164.5, 271.4) TLS00: Ausgabe (o) Farbmatrik-System; Sechs Bunttonwinkel des Farbgerätes: (40.0, 102.8, 136.0, 196.4, 306.3, 328.2); Vier Bunttonwinkel der Elementarfarben: (25.5, 92.3, 162.2, 271.7)



Relatives CIELAB-Buntheitsdiagramm: ($a^*_R = lab^*a$, $b^*_R = lab^*b$) und absolutes CIELAB Bunttondreiecks-Diagramm: (L^* , C^*_{ab}) für Ein- (---) und Ausgabe (----) ORS18: Eingabe (i) Farbmatrik-System; Sechs Bunttonwinkel des Farbgerätes: (37.7, 96.4, 150.9, 236.0, 305.0, 353.7); Vier Bunttonwinkel der Elementarfarben: (24.7, 91.8, 164.5, 271.4) TLS00: Ausgabe (o) Farbmatrik-System; Sechs Bunttonwinkel des Farbgerätes: (40.0, 102.8, 136.0, 196.4, 306.3, 328.2); Vier Bunttonwinkel der Elementarfarben: (25.5, 92.3, 162.2, 271.7)

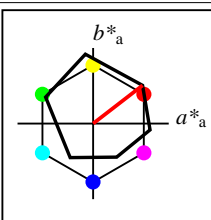




ORS18

	$L^*=L^*_a$	a^*_a	b^*_a	$C^*_{ab,a}$	$h^*_{ab,a}$
O _M	47.94	65.31	52.07	83.53	39
Y _M	90.37	-11.15	96.17	96.82	97
L _M	50.9	-62.96	36.71	72.89	150
C _M	58.62	-30.62	-42.74	52.59	234
V _M	25.72	31.45	-44.35	54.38	305
M _M	48.13	75.2	-6.79	75.51	355
N _M	18.01	0.5	-0.46	0.69	317
W _M	95.41	-0.98	4.76	4.86	102
R _{CIE}	39.92	58.74	27.99	65.07	25
J _{CIE}	81.26	-2.88	71.56	71.62	92
G _{CIE}	52.23	-42.41	13.6	44.55	162
B _{CIE}	30.57	1.41	-46.46	46.49	272

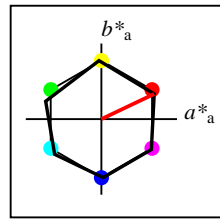
%Umfang
 $u^*_{rel} = 94$
%Regularität
 $g^*_{H,rel} = 58$
 $g^*_{C,rel} = 54$



ORS18a; adaptierte CIELAB-Daten

	$L^*=L^*_a$	a^*_a	b^*_a	$C^*_{ab,a}$	$h^*_{ab,a}$
O _{Ma}	47.94	65.39	50.52	82.63	38
Y _{Ma}	90.37	-10.26	91.75	92.32	96
L _{Ma}	50.9	-62.83	34.96	71.91	151
C _{Ma}	58.62	-30.34	-45.01	54.3	236
V _{Ma}	25.72	31.1	-44.4	54.22	305
M _{Ma}	48.13	75.28	-8.36	75.74	354
N _{Ma}	18.01	0.0	0.0	0.0	0
W _{Ma}	95.41	0.0	0.0	0.0	0
R _{CIE}	39.92	58.66	26.98	64.57	25
J _{CIE}	81.26	-2.16	67.76	67.79	92
G _{CIE}	52.23	-42.25	11.76	43.87	164
B _{CIE}	30.57	1.15	-46.84	46.86	271

%Umfang
 $u^*_{rel} = 93$
%Regularität
 $g^*_{H,rel} = 57$
 $g^*_{C,rel} = 59$

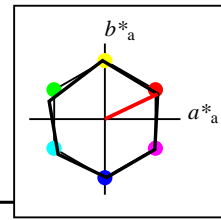


NRS18a; adaptierte CIELAB-Daten

	$L^*=L^*_a$	a^*_a	b^*_a	$C^*_{ab,a}$	$h^*_{ab,a}$
O _{Ma}	56.71	69.87	33.29	77.4	25
Y _{Ma}	56.71	-3.1	77.34	77.4	92
L _{Ma}	56.71	-73.68	23.63	77.39	162
C _{Ma}	56.71	-61.81	-46.54	77.39	217
V _{Ma}	56.71	2.35	-77.34	77.39	272
M _{Ma}	56.71	66.07	-40.3	77.4	329
N _{Ma}	18.01	0.0	0.0	0.0	0
W _{Ma}	95.41	0.0	0.0	0.0	0
R _{CIE}	39.92	58.74	27.99	65.07	25
J _{CIE}	81.26	-2.88	71.56	71.62	92
G _{CIE}	52.23	-42.41	13.6	44.55	162
B _{CIE}	30.57	1.41	-46.46	46.49	272

%Umfang
 $u^*_{rel} = 100$
%Regularität
 $g^*_{H,rel} = 78$
 $g^*_{C,rel} = 100$

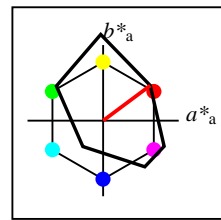
Workflow-Wahlen
für Farbmuster:
1. keine Farbänderung
2. Bunnton-Änderung
3. Buntheits-Änderung



NRS18a; adaptierte CIELAB-Daten

	$L^*=L^*_a$	a^*_a	b^*_a	$C^*_{ab,a}$	$h^*_{ab,a}$
O _{Ma}	56.71	69.87	33.29	77.4	25
Y _{Ma}	56.71	-3.1	77.34	77.4	92
L _{Ma}	56.71	-73.68	23.63	77.39	162
C _{Ma}	56.71	-61.81	-46.54	77.39	217
V _{Ma}	56.71	2.35	-77.34	77.39	272
M _{Ma}	56.71	66.07	-40.3	77.4	329
N _{Ma}	18.01	0.0	0.0	0.0	0
W _{Ma}	95.41	0.0	0.0	0.0	0
R _{CIE}	39.92	58.74	27.99	65.07	25
J _{CIE}	81.26	-2.88	71.56	71.62	92
G _{CIE}	52.23	-42.41	13.6	44.55	162
B _{CIE}	30.57	1.41	-46.46	46.49	272

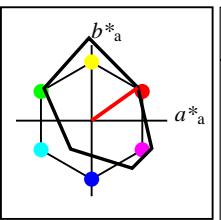
%Umfang
 $u^*_{rel} = 100$
%Regularität
 $g^*_{H,rel} = 78$
 $g^*_{C,rel} = 100$



FRS06a; adaptierte CIELAB-Daten

	$L^*=L^*_a$	a^*_a	b^*_a	$C^*_{ab,a}$	$h^*_{ab,a}$
O _{Ma}	32.57	62.32	46.49	77.75	37
Y _{Ma}	82.73	-3.16	113.99	114.03	92
L _{Ma}	39.43	-61.79	45.84	76.95	143
C _{Ma}	47.86	-26.79	-34.24	43.49	232
V _{Ma}	10.16	55.12	-61.03	82.24	312
M _{Ma}	34.5	80.68	-33.92	87.52	337
N _{Ma}	6.25	0.0	0.0	0.0	0
W _{Ma}	91.97	0.0	0.0	0.0	0
R _{CIE}	39.92	59.8	31.05	67.38	27
J _{CIE}	81.26	-2.52	76.25	76.29	92
G _{CIE}	52.23	-41.56	17.14	44.96	158
B _{CIE}	30.57	2.63	-43.77	43.86	273

%Umfang
 $u^*_{rel} = 115$
%Regularität
 $g^*_{H,rel} = 28$
 $g^*_{C,rel} = 38$

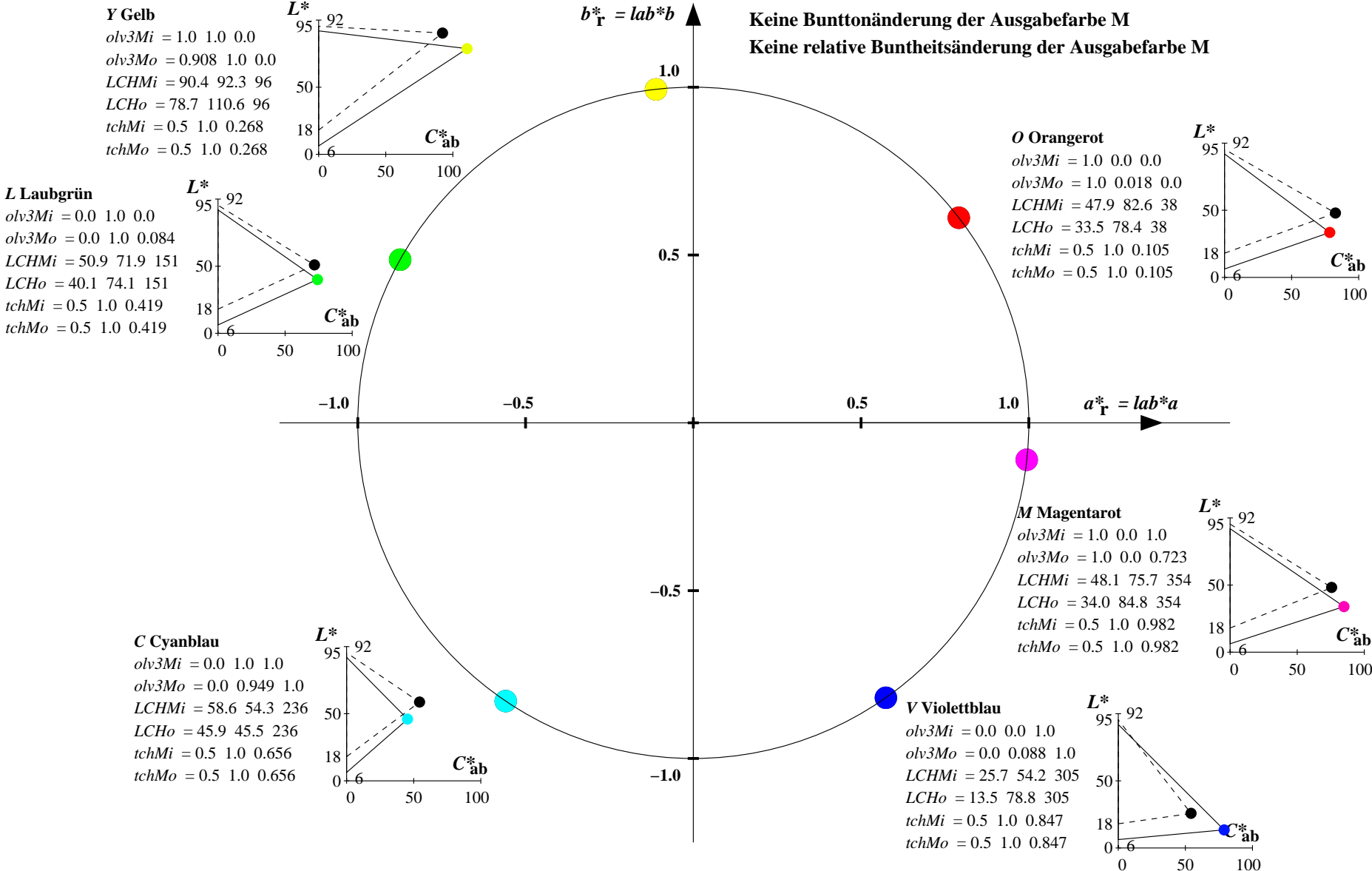


FRS06

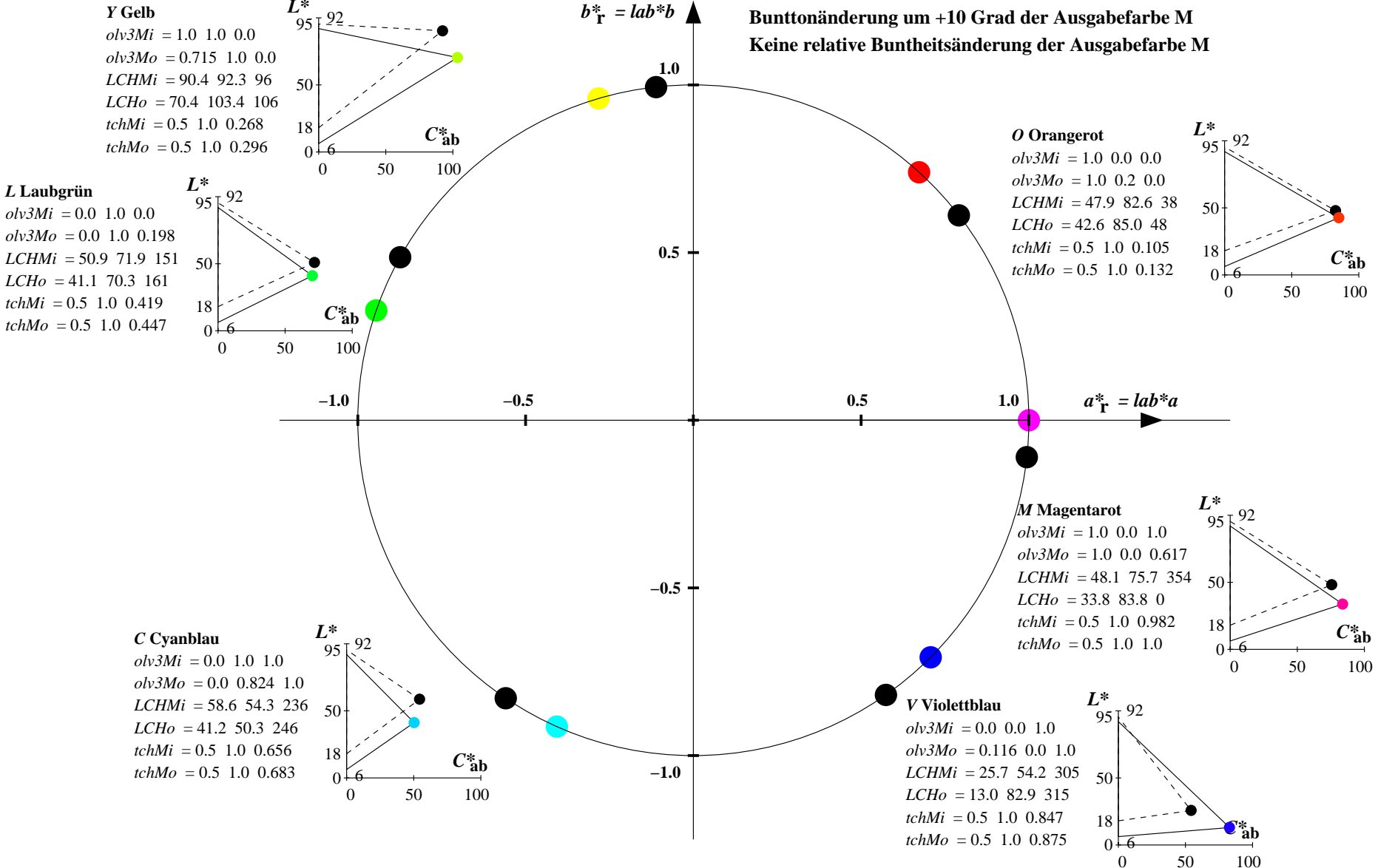
	$L^*=L^*_a$	a^*_a	b^*_a	$C^*_{ab,a}$	$h^*_{ab,a}$
O _M	32.57	61.14	43.72	75.16	36
Y _M	82.73	-3.5	109.24	109.3	92
L _M	39.43	-62.86	42.8	76.06	146
C _M	47.86	-27.72	-37.61	46.74	234
V _M	10.16	53.56	-62.91	82.63	310
M _M	34.5	79.53	-36.76	87.62	335
N _M	6.25	-1.62	-1.72	2.38	227
W _M	91.97	-0.17	-5.1	5.11	268
R _{CIE}	39.92	58.74	27.99	65.07	25
J _{CIE}	81.26	-2.88	71.56	71.62	92
G _{CIE}	52.23	-42.41	13.6	44.55	162
B _{CIE}	30.57	1.41	-46.46	46.49	272

%Umfang
 $u^*_{rel} = 114$
%Regularität
 $g^*_{H,rel} = 28$
 $g^*_{C,rel} = 43$

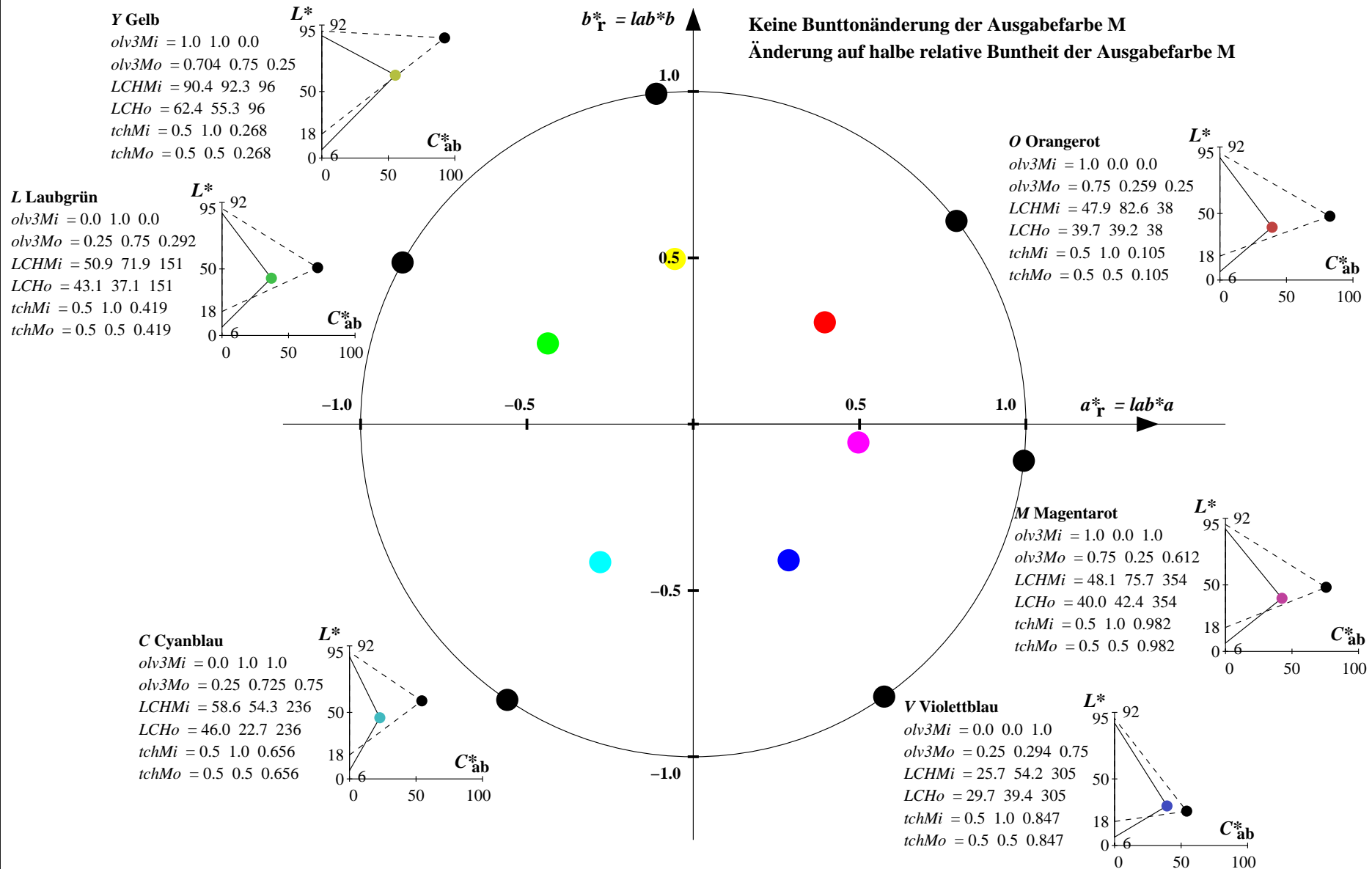
Relatives CIELAB-Buntheitsdiagramm: ($a^*_R = lab^*a$, $b^*_R = lab^*b$) und absolutes CIELAB Bunttondreiecks-Diagramm: (L^* , C^*_{ab}) für Ein- (---) und Ausgabe (----) ORS18: Eingabe (i) Farbmatrik-System; Sechs Bunttonwinkel des Farbgerätes: (37.7, 96.4, 150.9, 236.0, 305.0, 353.7); Vier Bunttonwinkel der Elementarfarben: (24.7, 91.8, 164.5, 271.4) FRS06: Ausgabe (o) Farbmatrik-System; Sechs Bunttonwinkel des Farbgerätes: (36.7, 91.6, 143.4, 232.0, 312.1, 337.2); Vier Bunttonwinkel der Elementarfarben: (27.4, 91.9, 157.6, 273.4)

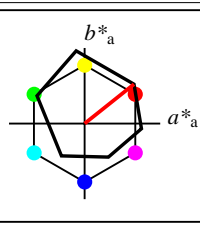


Relatives CIELAB-Buntheitsdiagramm: ($a^*_R = lab^*a$, $b^*_R = lab^*b$) und absolutes CIELAB Bunttondreiecks-Diagramm: (L^* , C^*_{ab}) für Ein- (---) und Ausgabe (----) ORS18: Eingabe (i) Farbmatrik-System; Sechs Bunttonwinkel des Farbgerätes: (37.7, 96.4, 150.9, 236.0, 305.0, 353.7); Vier Bunttonwinkel der Elementarfarben: (24.7, 91.8, 164.5, 271.4) FRS06: Ausgabe (o) Farbmatrik-System; Sechs Bunttonwinkel des Farbgerätes: (36.7, 91.6, 143.4, 232.0, 312.1, 337.2); Vier Bunttonwinkel der Elementarfarben: (27.4, 91.9, 157.6, 273.4)



Relatives CIELAB-Buntheitsdiagramm: ($a^*_R = lab^*a$, $b^*_R = lab^*b$) und absolutes CIELAB Bunttondreiecks-Diagramm: (L^* , C^*_{ab}) für Ein- (---) und Ausgabe (----) ORS18: Eingabe (i) Farbmatrik-System; Sechs Bunttonwinkel des Farbgerätes: (37.7, 96.4, 150.9, 236.0, 305.0, 353.7); Vier Bunttonwinkel der Elementarfarben: (24.7, 91.8, 164.5, 271.4) FRS06: Ausgabe (o) Farbmatrik-System; Sechs Bunttonwinkel des Farbgerätes: (36.7, 91.6, 143.4, 232.0, 312.1, 337.2); Vier Bunttonwinkel der Elementarfarben: (27.4, 91.9, 157.6, 273.4)

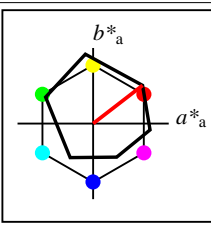




ORS18

	$L^*=L^*_a$	a^*_a	b^*_a	$C^*_{ab,a}$	$h^*_{ab,a}$
O _M	47.94	65.31	52.07	83.53	39
Y _M	90.37	-11.15	96.17	96.82	97
L _M	50.9	-62.96	36.71	72.89	150
C _M	58.62	-30.62	-42.74	52.59	234
V _M	25.72	31.45	-44.35	54.38	305
M _M	48.13	75.2	-6.79	75.51	355
N _M	18.01	0.5	-0.46	0.69	317
W _M	95.41	-0.98	4.76	4.86	102
R _{CIE}	39.92	58.74	27.99	65.07	25
J _{CIE}	81.26	-2.88	71.56	71.62	92
G _{CIE}	52.23	-42.41	13.6	44.55	162
B _{CIE}	30.57	1.41	-46.46	46.49	272

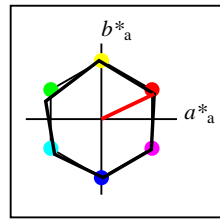
%Umfang
 $u^*_{rel} = 94$
%Regularität
 $g^*_{H,rel} = 58$
 $g^*_{C,rel} = 54$



ORS18a; adaptierte CIELAB-Daten

	$L^*=L^*_a$	a^*_a	b^*_a	$C^*_{ab,a}$	$h^*_{ab,a}$
O _{Ma}	47.94	65.39	50.52	82.63	38
Y _{Ma}	90.37	-10.26	91.75	92.32	96
L _{Ma}	50.9	-62.83	34.96	71.91	151
C _{Ma}	58.62	-30.34	-45.01	54.3	236
V _{Ma}	25.72	31.1	-44.4	54.22	305
M _{Ma}	48.13	75.28	-8.36	75.74	354
N _{Ma}	18.01	0.0	0.0	0.0	0
W _{Ma}	95.41	0.0	0.0	0.0	0
R _{CIE}	39.92	58.66	26.98	64.57	25
J _{CIE}	81.26	-2.16	67.76	67.79	92
G _{CIE}	52.23	-42.25	11.76	43.87	164
B _{CIE}	30.57	1.15	-46.84	46.86	271

%Umfang
 $u^*_{rel} = 93$
%Regularität
 $g^*_{H,rel} = 57$
 $g^*_{C,rel} = 59$

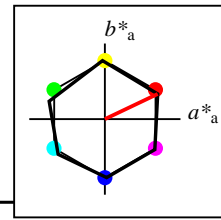


NRS18a; adaptierte CIELAB-Daten

	$L^*=L^*_a$	a^*_a	b^*_a	$C^*_{ab,a}$	$h^*_{ab,a}$
O _{Ma}	56.71	69.87	33.29	77.4	25
Y _{Ma}	56.71	-3.1	77.34	77.4	92
L _{Ma}	56.71	-73.68	23.63	77.39	162
C _{Ma}	56.71	-61.81	-46.54	77.39	217
V _{Ma}	56.71	2.35	-77.34	77.39	272
M _{Ma}	56.71	66.07	-40.3	77.4	329
N _{Ma}	18.01	0.0	0.0	0.0	0
W _{Ma}	95.41	0.0	0.0	0.0	0
R _{CIE}	39.92	58.74	27.99	65.07	25
J _{CIE}	81.26	-2.88	71.56	71.62	92
G _{CIE}	52.23	-42.41	13.6	44.55	162
B _{CIE}	30.57	1.41	-46.46	46.49	272

%Umfang
 $u^*_{rel} = 100$
%Regularität
 $g^*_{H,rel} = 78$
 $g^*_{C,rel} = 100$

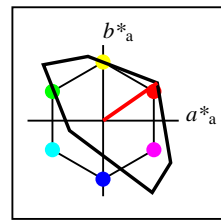
Workflow-Wahlen
für Farbmuster:
1. keine Farbänderung
2. Bunnton-Änderung
3. Buntheits-Änderung



NRS18a; adaptierte CIELAB-Daten

	$L^*=L^*_a$	a^*_a	b^*_a	$C^*_{ab,a}$	$h^*_{ab,a}$
O _{Ma}	56.71	69.87	33.29	77.4	25
Y _{Ma}	56.71	-3.1	77.34	77.4	92
L _{Ma}	56.71	-73.68	23.63	77.39	162
C _{Ma}	56.71	-61.81	-46.54	77.39	217
V _{Ma}	56.71	2.35	-77.34	77.39	272
M _{Ma}	56.71	66.07	-40.3	77.4	329
N _{Ma}	18.01	0.0	0.0	0.0	0
W _{Ma}	95.41	0.0	0.0	0.0	0
R _{CIE}	39.92	58.74	27.99	65.07	25
J _{CIE}	81.26	-2.88	71.56	71.62	92
G _{CIE}	52.23	-42.41	13.6	44.55	162
B _{CIE}	30.57	1.41	-46.46	46.49	272

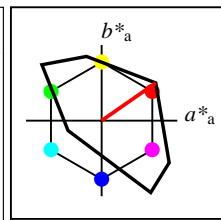
%Umfang
 $u^*_{rel} = 100$
%Regularität
 $g^*_{H,rel} = 78$
 $g^*_{C,rel} = 100$



TLS18a; adaptierte CIELAB-Daten

	$L^*=L^*_a$	a^*_a	b^*_a	$C^*_{ab,a}$	$h^*_{ab,a}$
O _{Ma}	52.76	71.63	49.88	87.29	35
Y _{Ma}	92.74	-20.02	84.97	87.3	103
L _{Ma}	84.0	-78.98	73.94	108.2	137
C _{Ma}	87.14	-44.41	-13.11	46.32	196
V _{Ma}	35.47	64.92	-95.06	115.12	304
M _{Ma}	59.01	89.33	-55.67	105.26	328
N _{Ma}	18.01	0.0	0.0	0.0	0
W _{Ma}	95.41	0.0	0.0	0.0	0
R _{CIE}	39.92	58.74	27.99	65.07	25
J _{CIE}	81.26	-2.88	71.56	71.62	92
G _{CIE}	52.23	-42.41	13.6	44.55	162
B _{CIE}	30.57	1.41	-46.46	46.49	272

%Umfang
 $u^*_{rel} = 118$
%Regularität
 $g^*_{H,rel} = 22$
 $g^*_{C,rel} = 40$

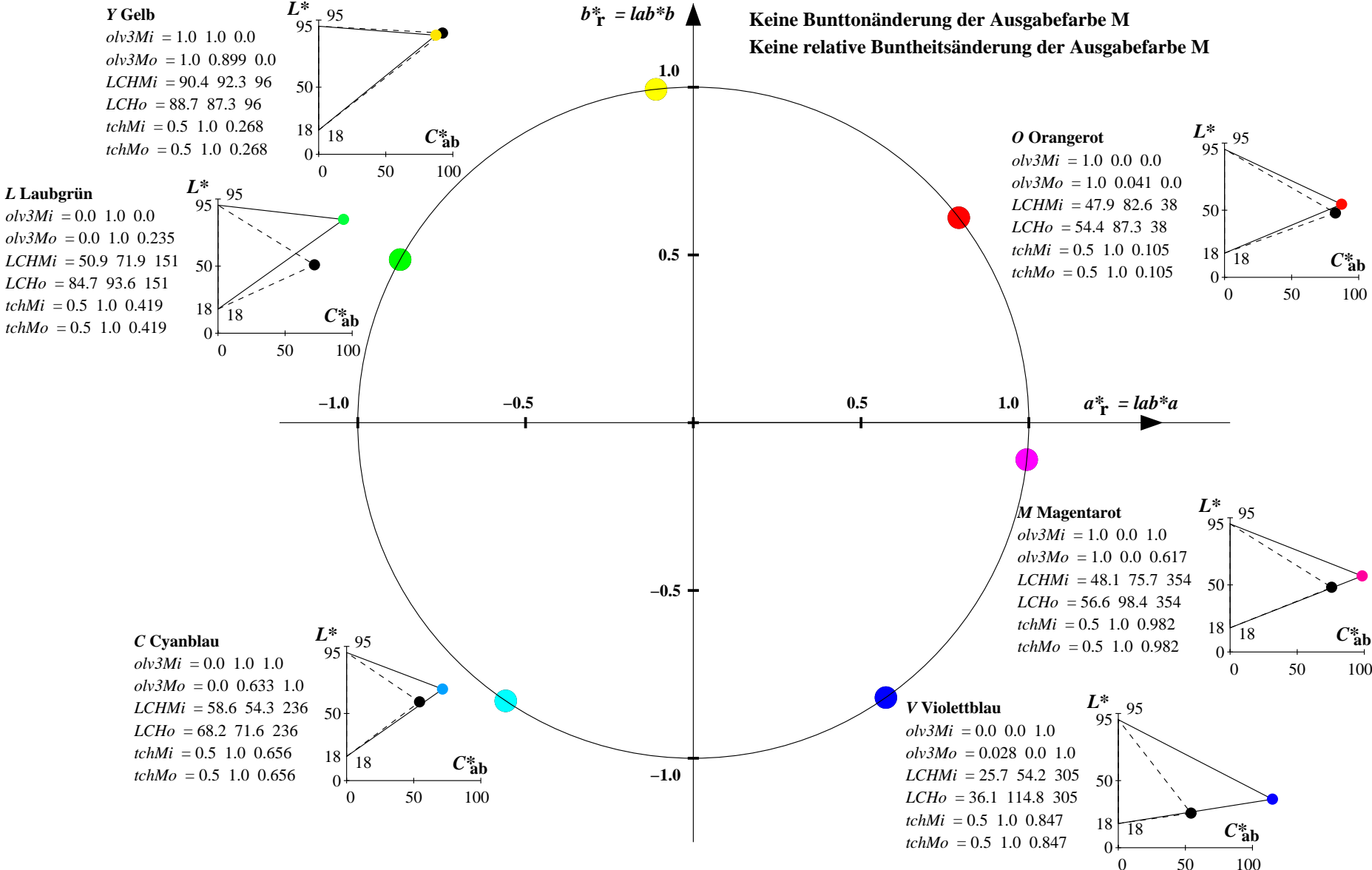


TLS18

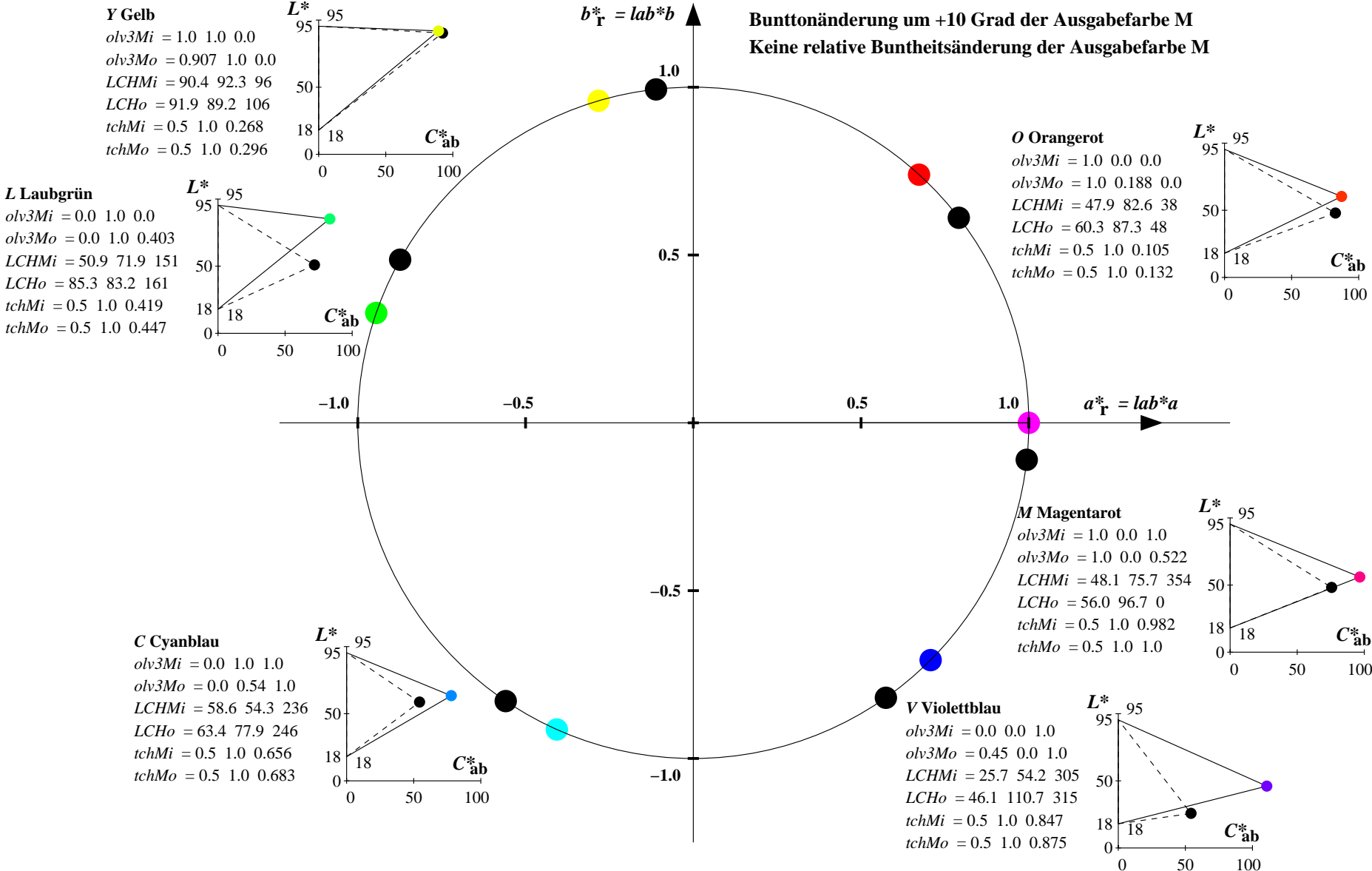
	$L^*=L^*_a$	a^*_a	b^*_a	$C^*_{ab,a}$	$h^*_{ab,a}$
O _M	52.76	71.63	49.88	87.29	35
Y _M	92.74	-20.02	84.97	87.3	103
L _M	84.0	-78.98	73.94	108.2	137
C _M	87.14	-44.41	-13.11	46.32	196
V _M	35.47	64.92	-95.06	115.12	304
M _M	59.01	89.33	-55.67	105.26	328
N _M	18.01	0.0	0.0	0.0	0
W _M	95.41	0.0	0.0	0.0	0
R _{CIE}	39.92	58.74	27.99	65.07	25
J _{CIE}	81.26	-2.88	71.56	71.62	92
G _{CIE}	52.23	-42.41	13.6	44.55	162
B _{CIE}	30.57	1.41	-46.46	46.49	272

%Umfang
 $u^*_{rel} = 118$
%Regularität
 $g^*_{H,rel} = 22$
 $g^*_{C,rel} = 40$

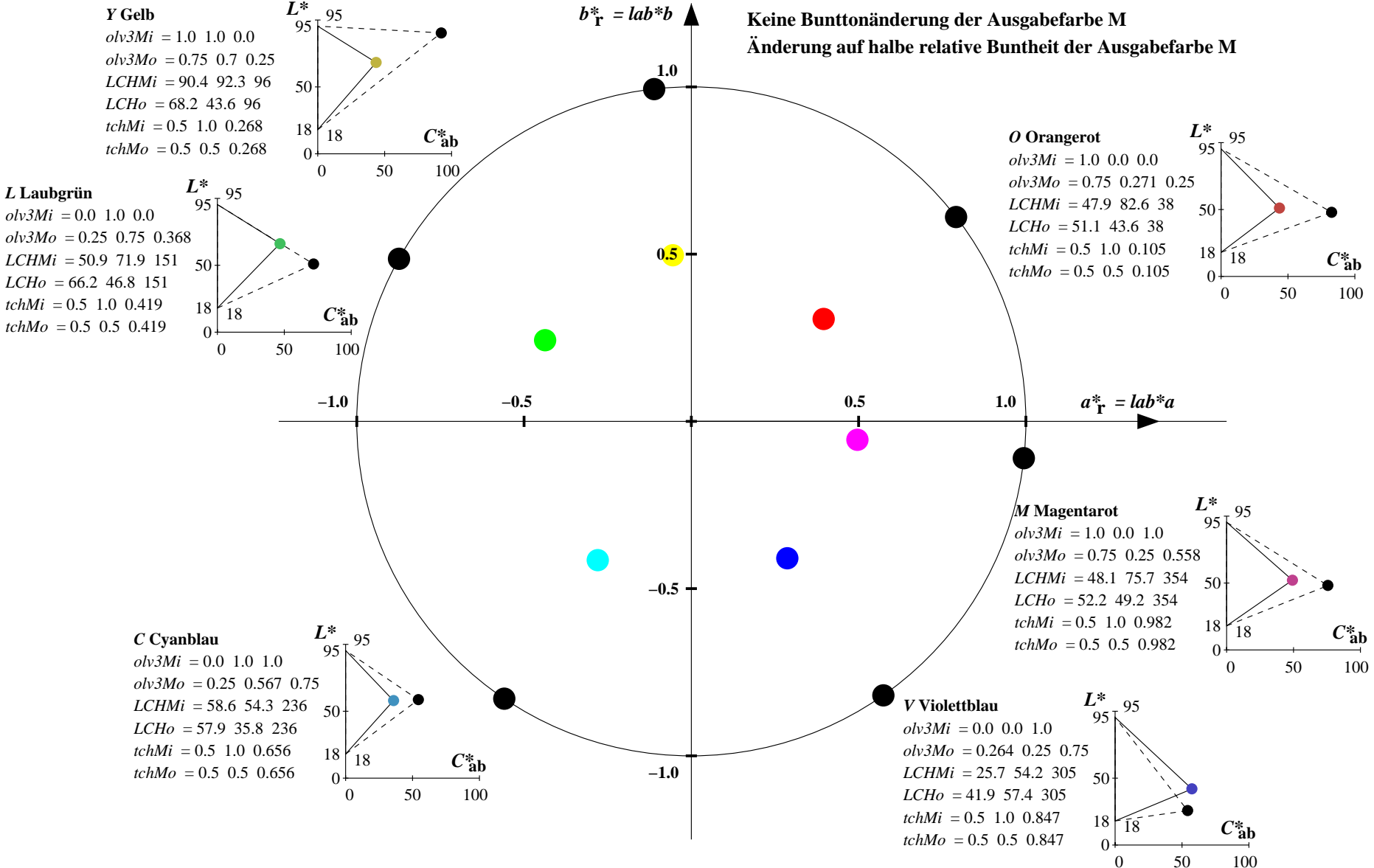
Relatives CIELAB-Buntheitsdiagramm: ($a^*_R = lab^*a$, $b^*_R = lab^*b$) und absolutes CIELAB Bunttondreiecks-Diagramm: (L^* , C^*_{ab}) für Ein- (---) und Ausgabe (----) ORS18: Eingabe (i) Farbmatrik-System; Sechs Bunttonwinkel des Farbgerätes: (37.7, 96.4, 150.9, 236.0, 305.0, 353.7); Vier Bunttonwinkel der Elementarfarben: (24.7, 91.8, 164.5, 271.4) TLS18: Ausgabe (o) Farbmatrik-System; Sechs Bunttonwinkel des Farbgerätes: (34.9, 103.3, 136.9, 196.5, 304.3, 328.1); Vier Bunttonwinkel der Elementarfarben: (25.5, 92.3, 162.2, 271.7)

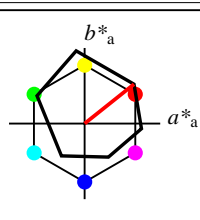


Relatives CIELAB-Buntheitsdiagramm: ($a^*_R = lab^*a$, $b^*_R = lab^*b$) und absolutes CIELAB Bunttondreiecks-Diagramm: (L^* , C^*_{ab}) für Ein- (---) und Ausgabe (----) ORS18: Eingabe (i) Farbmatrik-System; Sechs Bunttonwinkel des Farbgerätes: (37.7, 96.4, 150.9, 236.0, 305.0, 353.7); Vier Bunttonwinkel der Elementarfarben: (24.7, 91.8, 164.5, 271.4) TLS18: Ausgabe (o) Farbmatrik-System; Sechs Bunttonwinkel des Farbgerätes: (34.9, 103.3, 136.9, 196.5, 304.3, 328.1); Vier Bunttonwinkel der Elementarfarben: (25.5, 92.3, 162.2, 271.7)



Relatives CIELAB-Buntheitsdiagramm: ($a^*_R = lab^*a$, $b^*_R = lab^*b$) und absolutes CIELAB Bunttondreiecks-Diagramm: (L^* , C^*_{ab}) für Ein- (---) und Ausgabe (----) ORS18: Eingabe (i) Farbmatrik-System; Sechs Bunttonwinkel des Farbgerätes: (37.7, 96.4, 150.9, 236.0, 305.0, 353.7); Vier Bunttonwinkel der Elementarfarben: (24.7, 91.8, 164.5, 271.4) TLS18: Ausgabe (o) Farbmatrik-System; Sechs Bunttonwinkel des Farbgerätes: (34.9, 103.3, 136.9, 196.5, 304.3, 328.1); Vier Bunttonwinkel der Elementarfarben: (25.5, 92.3, 162.2, 271.7)

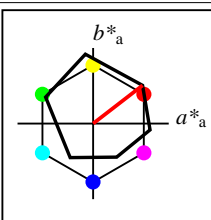




ORS18

	$L^*=L^*_a$	a^*_a	b^*_a	$C^*_{ab,a}$	$h^*_{ab,a}$
O _M	47.94	65.31	52.07	83.53	39
Y _M	90.37	-11.15	96.17	96.82	97
L _M	50.9	-62.96	36.71	72.89	150
C _M	58.62	-30.62	-42.74	52.59	234
V _M	25.72	31.45	-44.35	54.38	305
M _M	48.13	75.2	-6.79	75.51	355
N _M	18.01	0.5	-0.46	0.69	317
W _M	95.41	-0.98	4.76	4.86	102
R _{CIE}	39.92	58.74	27.99	65.07	25
J _{CIE}	81.26	-2.88	71.56	71.62	92
G _{CIE}	52.23	-42.41	13.6	44.55	162
B _{CIE}	30.57	1.41	-46.46	46.49	272

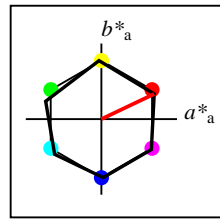
%Umfang
 $u^*_{rel} = 94$
%Regularität
 $g^*_{H,rel} = 58$
 $g^*_{C,rel} = 54$



ORS18a; adaptierte CIELAB-Daten

	$L^*=L^*_a$	a^*_a	b^*_a	$C^*_{ab,a}$	$h^*_{ab,a}$
O _{Ma}	47.94	65.39	50.52	82.63	38
Y _{Ma}	90.37	-10.26	91.75	92.32	96
L _{Ma}	50.9	-62.83	34.96	71.91	151
C _{Ma}	58.62	-30.34	-45.01	54.3	236
V _{Ma}	25.72	31.1	-44.4	54.22	305
M _{Ma}	48.13	75.28	-8.36	75.74	354
N _{Ma}	18.01	0.0	0.0	0.0	0
W _{Ma}	95.41	0.0	0.0	0.0	0
R _{CIE}	39.92	58.66	26.98	64.57	25
J _{CIE}	81.26	-2.16	67.76	67.79	92
G _{CIE}	52.23	-42.25	11.76	43.87	164
B _{CIE}	30.57	1.15	-46.84	46.86	271

%Umfang
 $u^*_{rel} = 93$
%Regularität
 $g^*_{H,rel} = 57$
 $g^*_{C,rel} = 59$

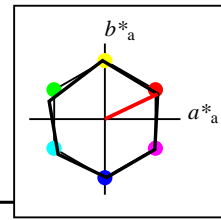


NRS18a; adaptierte CIELAB-Daten

	$L^*=L^*_a$	a^*_a	b^*_a	$C^*_{ab,a}$	$h^*_{ab,a}$
O _{Ma}	56.71	69.87	33.29	77.4	25
Y _{Ma}	56.71	-3.1	77.34	77.4	92
L _{Ma}	56.71	-73.68	23.63	77.39	162
C _{Ma}	56.71	-61.81	-46.54	77.39	217
V _{Ma}	56.71	2.35	-77.34	77.39	272
M _{Ma}	56.71	66.07	-40.3	77.4	329
N _{Ma}	18.01	0.0	0.0	0.0	0
W _{Ma}	95.41	0.0	0.0	0.0	0
R _{CIE}	39.92	58.74	27.99	65.07	25
J _{CIE}	81.26	-2.88	71.56	71.62	92
G _{CIE}	52.23	-42.41	13.6	44.55	162
B _{CIE}	30.57	1.41	-46.46	46.49	272

%Umfang
 $u^*_{rel} = 100$
%Regularität
 $g^*_{H,rel} = 78$
 $g^*_{C,rel} = 100$

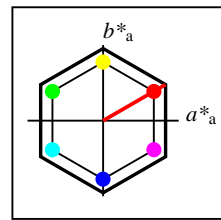
Workflow-Wahlen
für Farbmuster:
1. keine Farbänderung
2. Bunnton-Änderung
3. Buntheits-Änderung



NRS18a; adaptierte CIELAB-Daten

	$L^*=L^*_a$	a^*_a	b^*_a	$C^*_{ab,a}$	$h^*_{ab,a}$
O _{Ma}	56.71	69.87	33.29	77.4	25
Y _{Ma}	56.71	-3.1	77.34	77.4	92
L _{Ma}	56.71	-73.68	23.63	77.39	162
C _{Ma}	56.71	-61.81	-46.54	77.39	217
V _{Ma}	56.71	2.35	-77.34	77.39	272
M _{Ma}	56.71	66.07	-40.3	77.4	329
N _{Ma}	18.01	0.0	0.0	0.0	0
W _{Ma}	95.41	0.0	0.0	0.0	0
R _{CIE}	39.92	58.74	27.99	65.07	25
J _{CIE}	81.26	-2.88	71.56	71.62	92
G _{CIE}	52.23	-42.41	13.6	44.55	162
B _{CIE}	30.57	1.41	-46.46	46.49	272

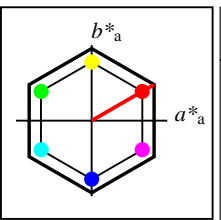
%Umfang
 $u^*_{rel} = 100$
%Regularität
 $g^*_{H,rel} = 78$
 $g^*_{C,rel} = 100$



NLS00a; adaptierte CIELAB-Daten

	$L^*=L^*_a$	a^*_a	b^*_a	$C^*_{ab,a}$	$h^*_{ab,a}$
O _{Ma}	31.81	82.62	47.7	95.4	30
Y _{Ma}	63.61	0.0	95.4	95.4	90
L _{Ma}	31.81	-82.61	47.7	95.4	150
C _{Ma}	63.61	-82.61	-47.69	95.4	210
V _{Ma}	31.81	0.0	-95.39	95.4	270
M _{Ma}	63.61	82.62	-47.69	95.4	330
N _{Ma}	0.01	0.0	0.0	0.0	0
W _{Ma}	95.41	0.0	0.0	0.0	0
R _{CIE}	39.92	58.74	27.99	65.07	25
J _{CIE}	81.26	-2.88	71.56	71.62	92
G _{CIE}	52.23	-42.41	13.6	44.55	162
B _{CIE}	30.57	1.41	-46.46	46.49	272

%Umfang
 $u^*_{rel} = 152$
%Regularität
 $g^*_{H,rel} = 100$
 $g^*_{C,rel} = 100$

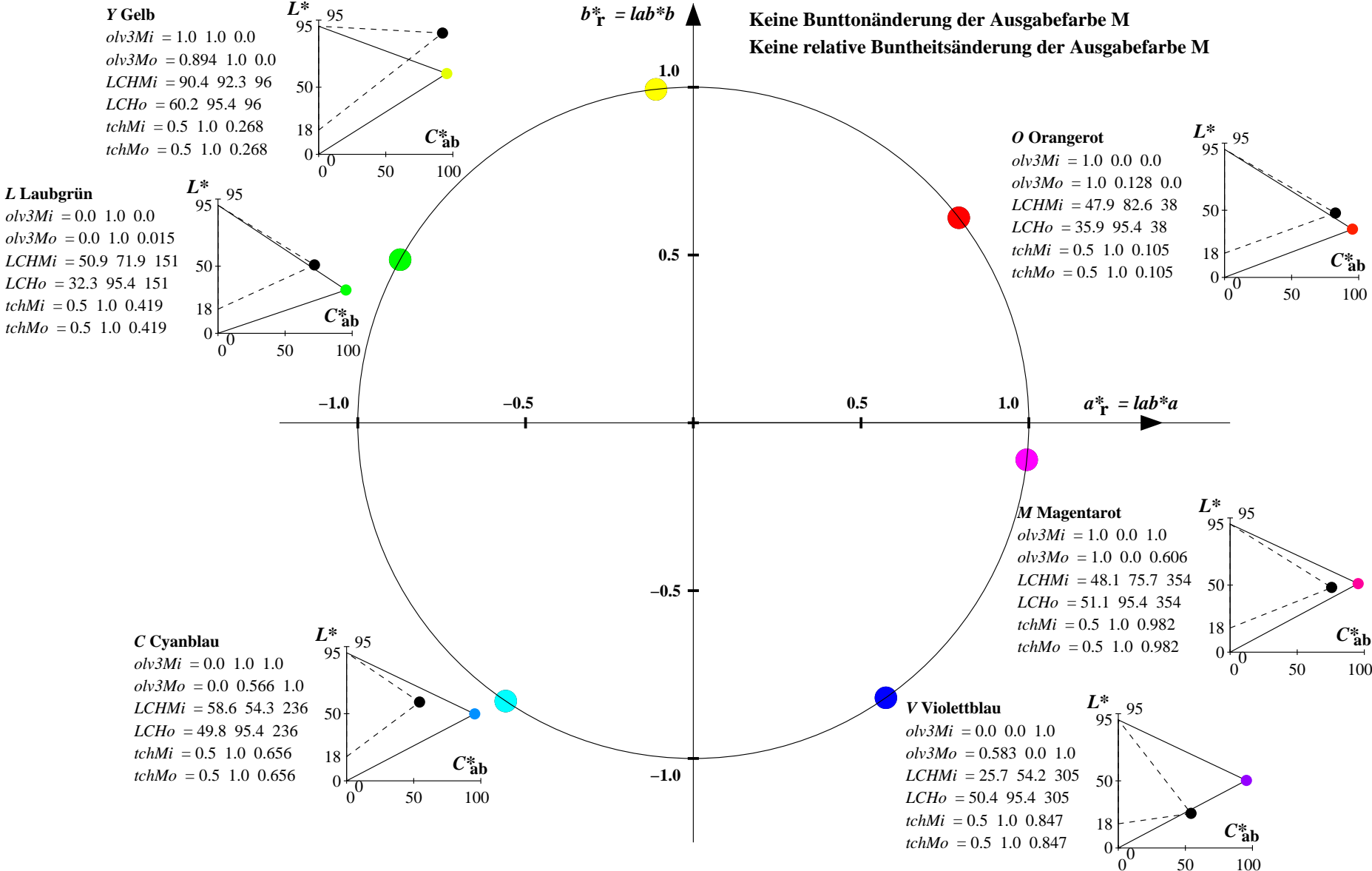


NLS00

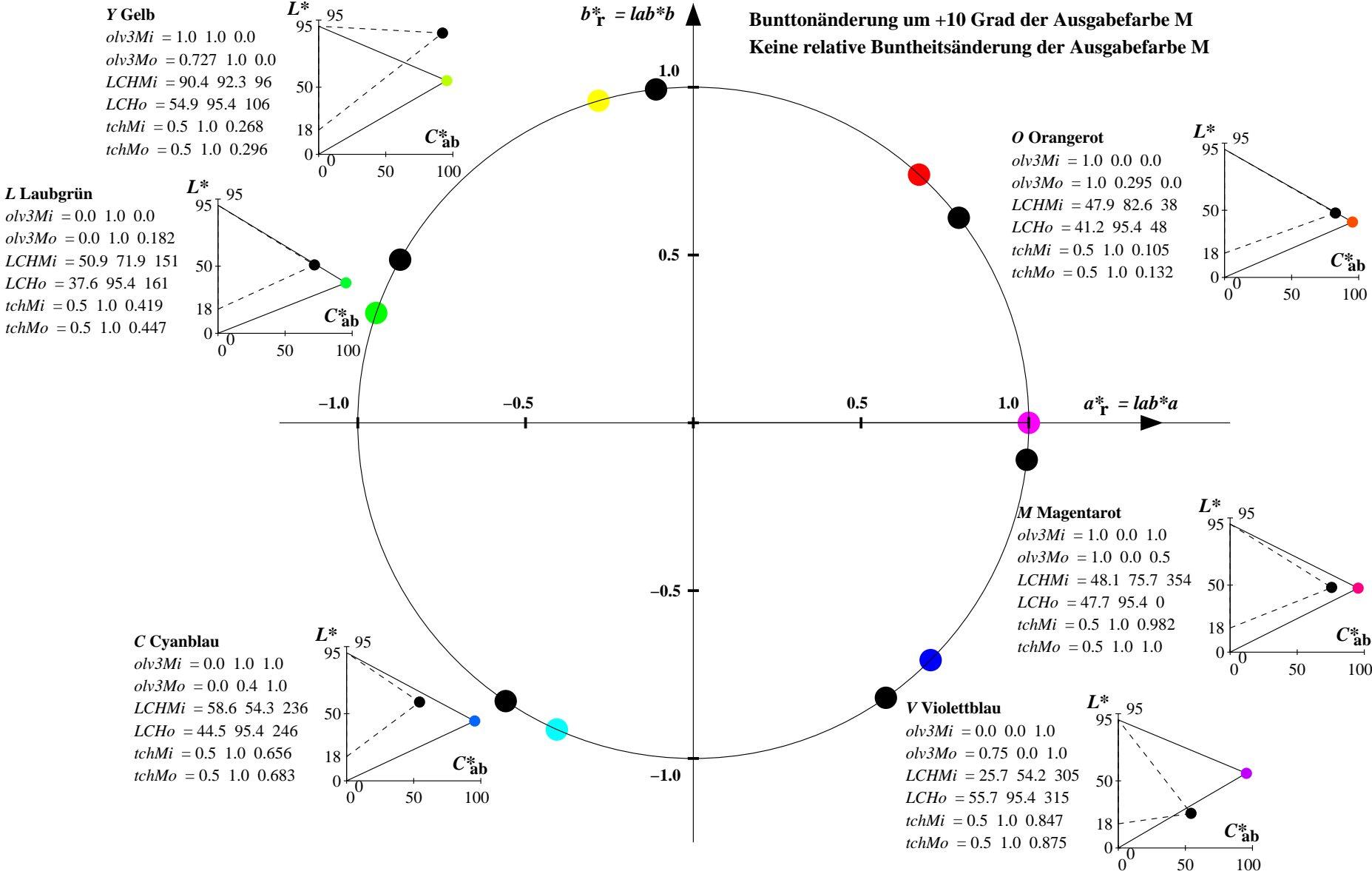
	$L^*=L^*_a$	a^*_a	b^*_a	$C^*_{ab,a}$	$h^*_{ab,a}$
O _M	31.81	82.62	47.7	95.4	30
Y _M	63.61	0.0	95.4	95.4	90
L _M	31.81	-82.61	47.7	95.4	150
C _M	63.61	-82.61	-47.69	95.4	210
V _M	31.81	0.0	-95.39	95.4	270
M _M	63.61	82.62	-47.69	95.4	330
N _M	0.01	0.0	0.0	0.0	0
W _M	95.41	0.0	0.0	0.0	0
R _{CIE}	39.92	58.74	27.99	65.07	25
J _{CIE}	81.26	-2.88	71.56	71.62	92
G _{CIE}	52.23	-42.41	13.6	44.55	162
B _{CIE}	30.57	1.41	-46.46	46.49	272

%Umfang
 $u^*_{rel} = 152$
%Regularität
 $g^*_{H,rel} = 100$
 $g^*_{C,rel} = 100$

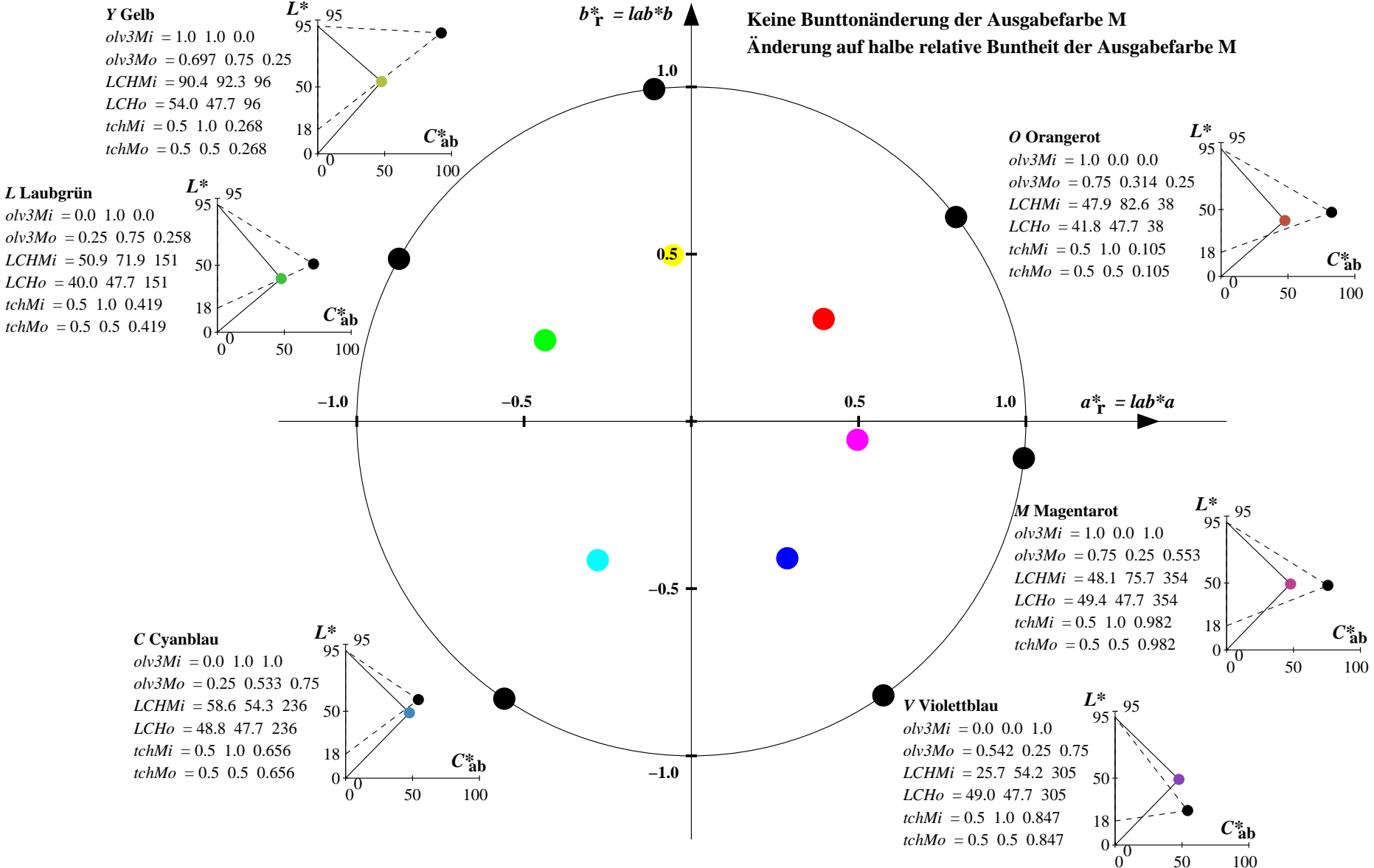
Relatives CIELAB-Buntheitsdiagramm: ($a^*_R = lab^*a$, $b^*_R = lab^*b$) und absolutes CIELAB Bunttondreiecks-Diagramm: (L^* , C^*_{ab}) für Ein- (---) und Ausgabe (----) ORS18: Eingabe (i) Farbmatrik-System; Sechs Bunttonwinkel des Farbgerätes: (37.7, 96.4, 150.9, 236.0, 305.0, 353.7); Vier Bunttonwinkel der Elementarfarben: (24.7, 91.8, 164.5, 271.4) NLS00: Ausgabe (o) Farbmatrik-System; Sechs Bunttonwinkel des Farbgerätes: (30.0, 90.0, 150.0, 210.0, 270.0, 330.0); Vier Bunttonwinkel der Elementarfarben: (25.5, 92.3, 162.2, 271.7)

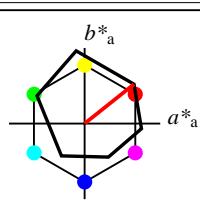


Relatives CIELAB-Buntheitsdiagramm: ($a^*_R = lab^*a$, $b^*_R = lab^*b$) und absolutes CIELAB Bunttondreiecks-Diagramm: (L^* , C^*_{ab}) für Ein- (---) und Ausgabe (----) ORS18: Eingabe (i) Farbmatrik-System; Sechs Bunttonwinkel des Farbgerätes: (37.7, 96.4, 150.9, 236.0, 305.0, 353.7); Vier Bunttonwinkel der Elementarfarben: (24.7, 91.8, 164.5, 271.4) NLS00: Ausgabe (o) Farbmatrik-System; Sechs Bunttonwinkel des Farbgerätes: (30.0, 90.0, 150.0, 210.0, 270.0, 330.0); Vier Bunttonwinkel der Elementarfarben: (25.5, 92.3, 162.2, 271.7)



Relatives CIELAB-Buntheitsdiagramm: ($a^*_R = lab^*a$, $b^*_R = lab^*b$) und absolutes CIELAB Bunttondreiecks-Diagramm: (L^* , C^*_{ab}) für Ein- (---) und Ausgabe (----) ORS18: Eingabe (i) Farbmatrik-System; Sechs Bunttonwinkel des Farbgerätes: (37.7, 96.4, 150.9, 236.0, 305.0, 353.7); Vier Bunttonwinkel der Elementarfarben: (24.7, 91.8, 164.5, 271.4) NLS00: Ausgabe (o) Farbmatrik-System; Sechs Bunttonwinkel des Farbgerätes: (30.0, 90.0, 150.0, 210.0, 270.0, 330.0); Vier Bunttonwinkel der Elementarfarben: (25.5, 92.3, 162.2, 271.7)

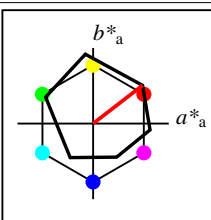




ORS18

	$L^*=L^*_a$	a^*_a	b^*_a	$C^*_{ab,a}$	$h^*_{ab,a}$
O _M	47.94	65.31	52.07	83.53	39
Y _M	90.37	-11.15	96.17	96.82	97
L _M	50.9	-62.96	36.71	72.89	150
C _M	58.62	-30.62	-42.74	52.59	234
V _M	25.72	31.45	-44.35	54.38	305
M _M	48.13	75.2	-6.79	75.51	355
N _M	18.01	0.5	-0.46	0.69	317
W _M	95.41	-0.98	4.76	4.86	102
R _{CIE}	39.92	58.74	27.99	65.07	25
J _{CIE}	81.26	-2.88	71.56	71.62	92
G _{CIE}	52.23	-42.41	13.6	44.55	162
B _{CIE}	30.57	1.41	-46.46	46.49	272

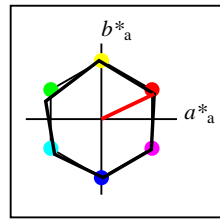
%Umfang
 $u^*_{rel} = 94$
%Regularität
 $g^*_{H,rel} = 58$
 $g^*_{C,rel} = 54$



ORS18a; adaptierte CIELAB-Daten

	$L^*=L^*_a$	a^*_a	b^*_a	$C^*_{ab,a}$	$h^*_{ab,a}$
O _{Ma}	47.94	65.39	50.52	82.63	38
Y _{Ma}	90.37	-10.26	91.75	92.32	96
L _{Ma}	50.9	-62.83	34.96	71.91	151
C _{Ma}	58.62	-30.34	-45.01	54.3	236
V _{Ma}	25.72	31.1	-44.4	54.22	305
M _{Ma}	48.13	75.28	-8.36	75.74	354
N _{Ma}	18.01	0.0	0.0	0.0	0
W _{Ma}	95.41	0.0	0.0	0.0	0
R _{CIE}	39.92	58.66	26.98	64.57	25
J _{CIE}	81.26	-2.16	67.76	67.79	92
G _{CIE}	52.23	-42.25	11.76	43.87	164
B _{CIE}	30.57	1.15	-46.84	46.86	271

%Umfang
 $u^*_{rel} = 93$
%Regularität
 $g^*_{H,rel} = 57$
 $g^*_{C,rel} = 59$

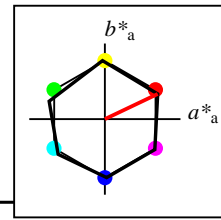


NRS18a; adaptierte CIELAB-Daten

	$L^*=L^*_a$	a^*_a	b^*_a	$C^*_{ab,a}$	$h^*_{ab,a}$
O _{Ma}	56.71	69.87	33.29	77.4	25
Y _{Ma}	56.71	-3.1	77.34	77.4	92
L _{Ma}	56.71	-73.68	23.63	77.39	162
C _{Ma}	56.71	-61.81	-46.54	77.39	217
V _{Ma}	56.71	2.35	-77.34	77.39	272
M _{Ma}	56.71	66.07	-40.3	77.4	329
N _{Ma}	18.01	0.0	0.0	0.0	0
W _{Ma}	95.41	0.0	0.0	0.0	0
R _{CIE}	39.92	58.74	27.99	65.07	25
J _{CIE}	81.26	-2.88	71.56	71.62	92
G _{CIE}	52.23	-42.41	13.6	44.55	162
B _{CIE}	30.57	1.41	-46.46	46.49	272

%Umfang
 $u^*_{rel} = 100$
%Regularität
 $g^*_{H,rel} = 78$
 $g^*_{C,rel} = 100$

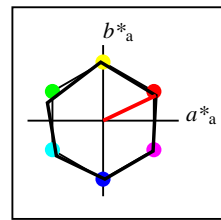
Workflow-Wahlen
für Farbmuster:
1. keine Farbänderung
2. Bunnton-Änderung
3. Buntheits-Änderung



NRS18a; adaptierte CIELAB-Daten

	$L^*=L^*_a$	a^*_a	b^*_a	$C^*_{ab,a}$	$h^*_{ab,a}$
O _{Ma}	56.71	69.87	33.29	77.4	25
Y _{Ma}	56.71	-3.1	77.34	77.4	92
L _{Ma}	56.71	-73.68	23.63	77.39	162
C _{Ma}	56.71	-61.81	-46.54	77.39	217
V _{Ma}	56.71	2.35	-77.34	77.39	272
M _{Ma}	56.71	66.07	-40.3	77.4	329
N _{Ma}	18.01	0.0	0.0	0.0	0
W _{Ma}	95.41	0.0	0.0	0.0	0
R _{CIE}	39.92	58.74	27.99	65.07	25
J _{CIE}	81.26	-2.88	71.56	71.62	92
G _{CIE}	52.23	-42.41	13.6	44.55	162
B _{CIE}	30.57	1.41	-46.46	46.49	272

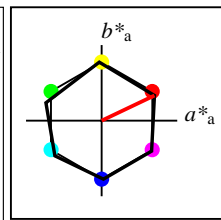
%Umfang
 $u^*_{rel} = 100$
%Regularität
 $g^*_{H,rel} = 78$
 $g^*_{C,rel} = 100$



NRS18a; adaptierte CIELAB-Daten

	$L^*=L^*_a$	a^*_a	b^*_a	$C^*_{ab,a}$	$h^*_{ab,a}$
O _{Ma}	56.71	69.87	33.29	77.4	25
Y _{Ma}	56.71	-3.1	77.34	77.4	92
L _{Ma}	56.71	-73.68	23.63	77.39	162
C _{Ma}	56.71	-61.81	-46.54	77.39	217
V _{Ma}	56.71	2.35	-77.34	77.39	272
M _{Ma}	56.71	66.07	-40.3	77.4	329
N _{Ma}	18.01	0.0	0.0	0.0	0
W _{Ma}	95.41	0.0	0.0	0.0	0
R _{CIE}	39.92	58.74	27.99	65.07	25
J _{CIE}	81.26	-2.88	71.56	71.62	92
G _{CIE}	52.23	-42.41	13.6	44.55	162
B _{CIE}	30.57	1.41	-46.46	46.49	272

%Umfang
 $u^*_{rel} = 100$
%Regularität
 $g^*_{H,rel} = 78$
 $g^*_{C,rel} = 100$

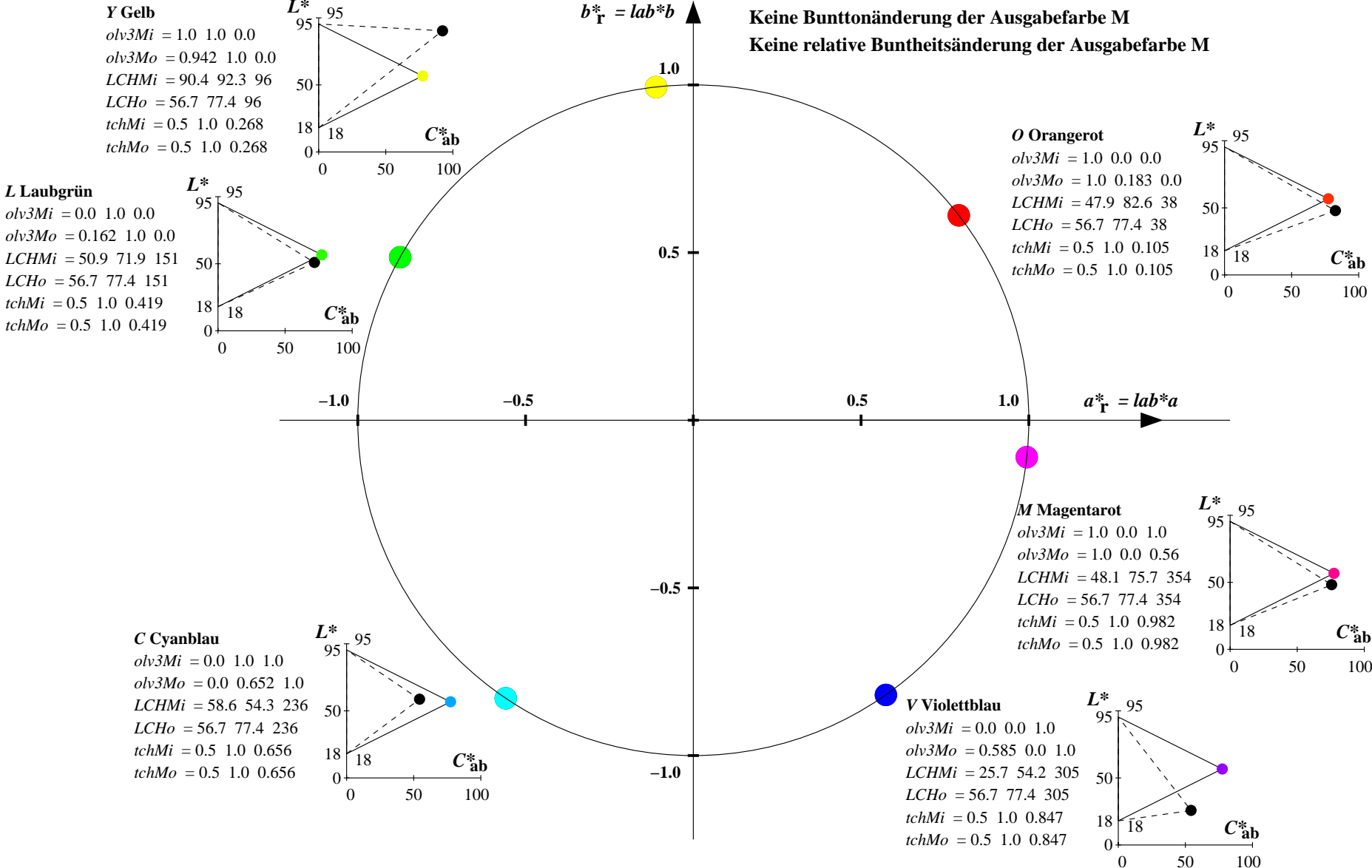


NRS18

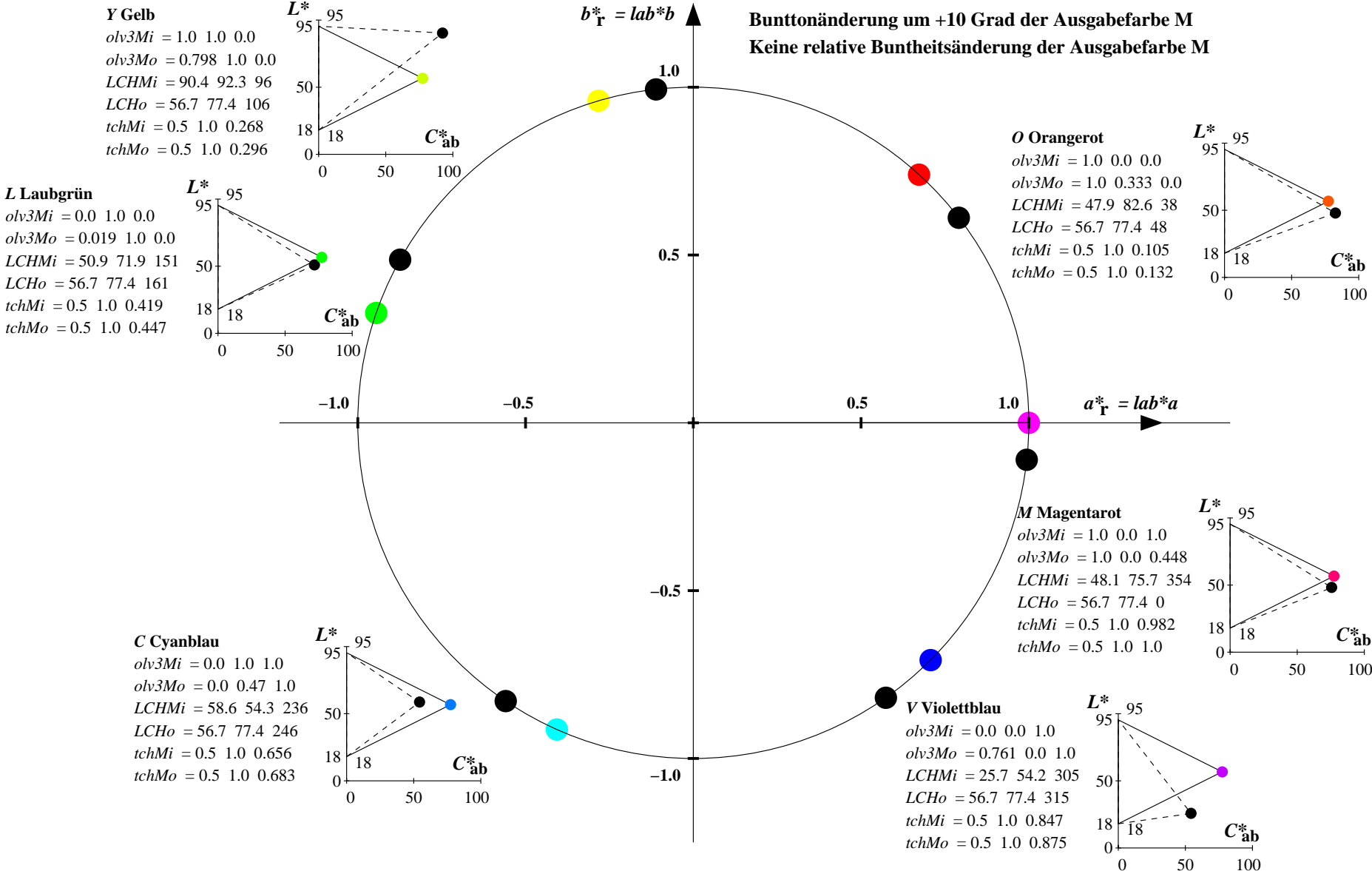
	$L^*=L^*_a$	a^*_a	b^*_a	$C^*_{ab,a}$	$h^*_{ab,a}$
O _M	56.71	69.87	33.29	77.4	25
Y _M	56.71	-3.1	77.34	77.4	92
L _M	56.71	-73.68	23.63	77.39	162
C _M	56.71	-61.81	-46.54	77.39	217
V _M	56.71	2.35	-77.34	77.39	272
M _M	56.71	66.07	-40.3	77.4	329
N _M	18.01	0.0	0.0	0.0	0
W _M	95.41	0.0	0.0	0.0	0
R _{CIE}	39.92	58.74	27.99	65.07	25
J _{CIE}	81.26	-2.88	71.56	71.62	92
G _{CIE}	52.23	-42.41	13.6	44.55	162
B _{CIE}	30.57	1.41	-46.46	46.49	272

%Umfang
 $u^*_{rel} = 100$
%Regularität
 $g^*_{H,rel} = 78$
 $g^*_{C,rel} = 100$

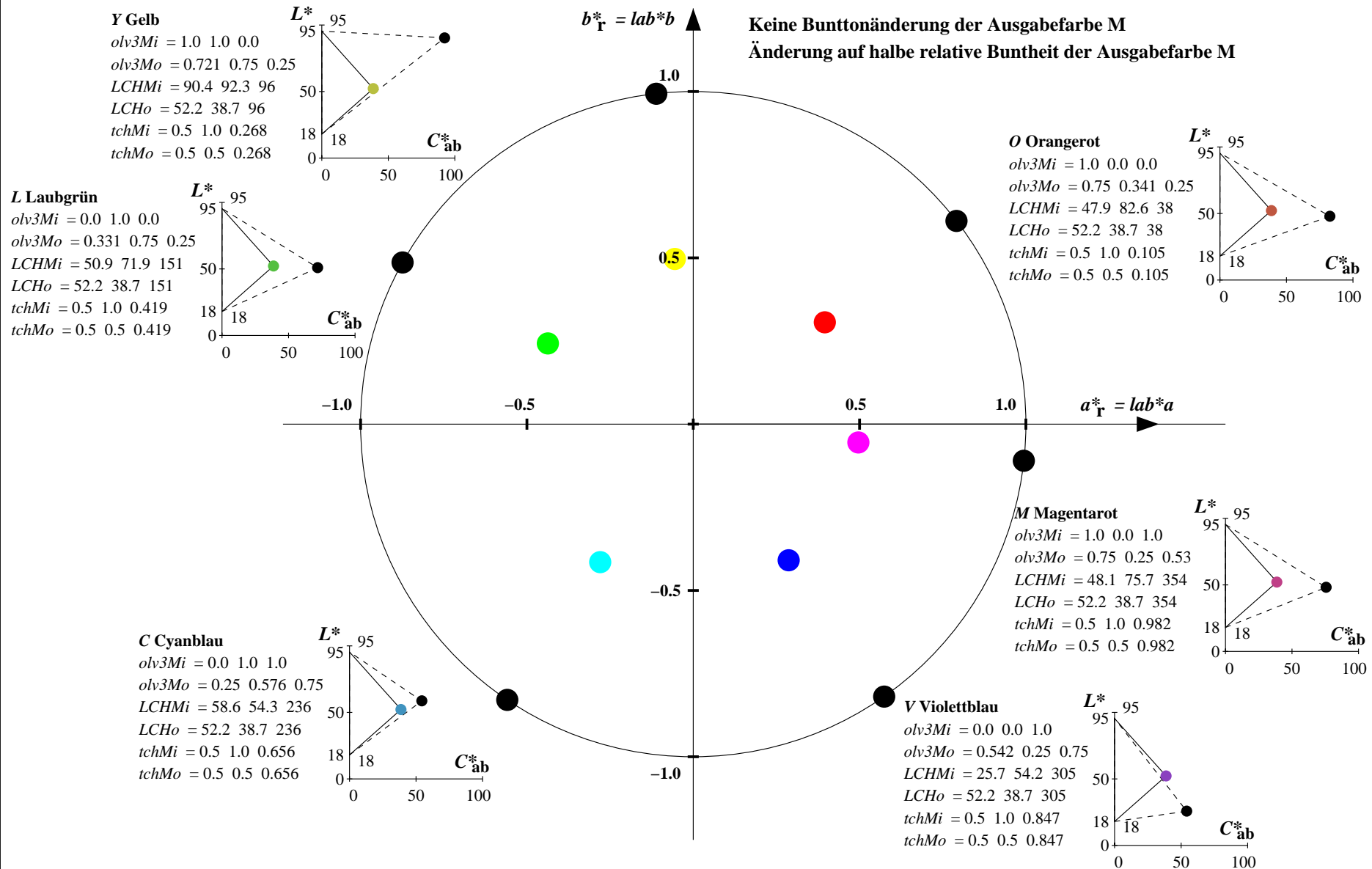
Relatives CIELAB-Buntheitsdiagramm: ($a^*_R = lab^*a$, $b^*_R = lab^*b$) und absolutes CIELAB Bunttondreiecks-Diagramm: (L^* , C^*_{ab}) für Ein- (---) und Ausgabe (----) ORS18: Eingabe (i) Farbmatrik-System; Sechs Bunttonwinkel des Farbgerätes: (37.7, 96.4, 150.9, 236.0, 305.0, 353.7); Vier Bunttonwinkel der Elementarfarben: (24.7, 91.8, 164.5, 271.4) NRS18: Ausgabe (o) Farbmatrik-System; Sechs Bunttonwinkel des Farbgerätes: (25.5, 92.3, 162.2, 217.0, 271.7, 328.6); Vier Bunttonwinkel der Elementarfarben: (25.5, 92.3, 162.2, 271.7)

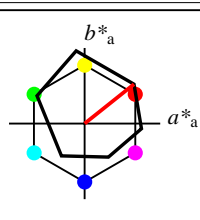


Relatives CIELAB-Buntheitsdiagramm: ($a^*_R = lab^*a$, $b^*_R = lab^*b$) und absolutes CIELAB Bunttondreiecks-Diagramm: (L^* , C^*_{ab}) für Ein- (---) und Ausgabe (----) ORS18: Eingabe (i) Farbmatrik-System; Sechs Bunttonwinkel des Farbgerätes: (37.7, 96.4, 150.9, 236.0, 305.0, 353.7); Vier Bunttonwinkel der Elementarfarben: (24.7, 91.8, 164.5, 271.4) NRS18: Ausgabe (o) Farbmatrik-System; Sechs Bunttonwinkel des Farbgerätes: (25.5, 92.3, 162.2, 217.0, 271.7, 328.6); Vier Bunttonwinkel der Elementarfarben: (25.5, 92.3, 162.2, 271.7)



Relatives CIELAB-Buntheitsdiagramm: ($a^*_R = lab^*a$, $b^*_R = lab^*b$) und absolutes CIELAB Bunttondreiecks-Diagramm: (L^* , C^*_{ab}) für Ein- (---) und Ausgabe (----) ORS18: Eingabe (i) Farbmatrik-System; Sechs Bunttonwinkel des Farbgerätes: (37.7, 96.4, 150.9, 236.0, 305.0, 353.7); Vier Bunttonwinkel der Elementarfarben: (24.7, 91.8, 164.5, 271.4) NRS18: Ausgabe (o) Farbmatrik-System; Sechs Bunttonwinkel des Farbgerätes: (25.5, 92.3, 162.2, 217.0, 271.7, 328.6); Vier Bunttonwinkel der Elementarfarben: (25.5, 92.3, 162.2, 271.7)

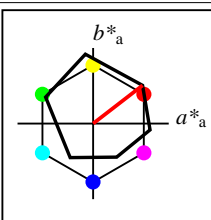




ORS18

	$L^*=L^*_a$	a^*_a	b^*_a	$C^*_{ab,a}$	$h^*_{ab,a}$
O _M	47.94	65.31	52.07	83.53	39
Y _M	90.37	-11.15	96.17	96.82	97
L _M	50.9	-62.96	36.71	72.89	150
C _M	58.62	-30.62	-42.74	52.59	234
V _M	25.72	31.45	-44.35	54.38	305
M _M	48.13	75.2	-6.79	75.51	355
N _M	18.01	0.5	-0.46	0.69	317
W _M	95.41	-0.98	4.76	4.86	102
R _{CIE}	39.92	58.74	27.99	65.07	25
J _{CIE}	81.26	-2.88	71.56	71.62	92
G _{CIE}	52.23	-42.41	13.6	44.55	162
B _{CIE}	30.57	1.41	-46.46	46.49	272

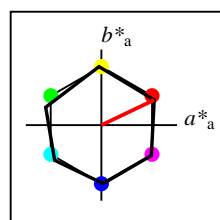
%Umfang
 $u^*_{rel} = 94$
%Regularität
 $g^*_{H,rel} = 58$
 $g^*_{C,rel} = 54$



ORS18a; adaptierte CIELAB-Daten

	$L^*=L^*_a$	a^*_a	b^*_a	$C^*_{ab,a}$	$h^*_{ab,a}$
O _{Ma}	47.94	65.39	50.52	82.63	38
Y _{Ma}	90.37	-10.26	91.75	92.32	96
L _{Ma}	50.9	-62.83	34.96	71.91	151
C _{Ma}	58.62	-30.34	-45.01	54.3	236
V _{Ma}	25.72	31.1	-44.4	54.22	305
M _{Ma}	48.13	75.28	-8.36	75.74	354
N _{Ma}	18.01	0.0	0.0	0.0	0
W _{Ma}	95.41	0.0	0.0	0.0	0
R _{CIE}	39.92	58.66	26.98	64.57	25
J _{CIE}	81.26	-2.16	67.76	67.79	92
G _{CIE}	52.23	-42.25	11.76	43.87	164
B _{CIE}	30.57	1.15	-46.84	46.86	271

%Umfang
 $u^*_{rel} = 93$
%Regularität
 $g^*_{H,rel} = 57$
 $g^*_{C,rel} = 59$

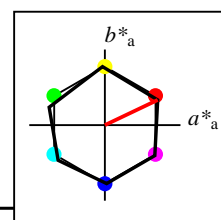


NRS18a; adaptierte CIELAB-Daten

	$L^*=L^*_a$	a^*_a	b^*_a	$C^*_{ab,a}$	$h^*_{ab,a}$
O _{Ma}	56.71	69.87	33.29	77.4	25
Y _{Ma}	56.71	-3.1	77.34	77.4	92
L _{Ma}	56.71	-73.68	23.63	77.39	162
C _{Ma}	56.71	-61.81	-46.54	77.39	217
V _{Ma}	56.71	2.35	-77.34	77.39	272
M _{Ma}	56.71	66.07	-40.3	77.4	329
N _{Ma}	18.01	0.0	0.0	0.0	0
W _{Ma}	95.41	0.0	0.0	0.0	0
R _{CIE}	39.92	58.74	27.99	65.07	25
J _{CIE}	81.26	-2.88	71.56	71.62	92
G _{CIE}	52.23	-42.41	13.6	44.55	162
B _{CIE}	30.57	1.41	-46.46	46.49	272

%Umfang
 $u^*_{rel} = 100$
%Regularität
 $g^*_{H,rel} = 78$
 $g^*_{C,rel} = 100$

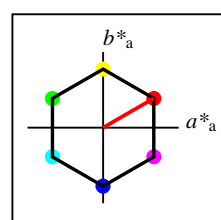
Workflow-Wahlen
für Farbmuster:
1. keine Farbänderung
2. Bunnton-Änderung
3. Buntheits-Änderung



NRS18a; adaptierte CIELAB-Daten

	$L^*=L^*_a$	a^*_a	b^*_a	$C^*_{ab,a}$	$h^*_{ab,a}$
O _{Ma}	56.71	69.87	33.29	77.4	25
Y _{Ma}	56.71	-3.1	77.34	77.4	92
L _{Ma}	56.71	-73.68	23.63	77.39	162
C _{Ma}	56.71	-61.81	-46.54	77.39	217
V _{Ma}	56.71	2.35	-77.34	77.39	272
M _{Ma}	56.71	66.07	-40.3	77.4	329
N _{Ma}	18.01	0.0	0.0	0.0	0
W _{Ma}	95.41	0.0	0.0	0.0	0
R _{CIE}	39.92	58.74	27.99	65.07	25
J _{CIE}	81.26	-2.88	71.56	71.62	92
G _{CIE}	52.23	-42.41	13.6	44.55	162
B _{CIE}	30.57	1.41	-46.46	46.49	272

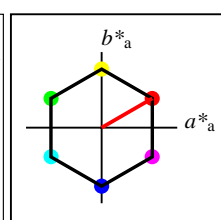
%Umfang
 $u^*_{rel} = 100$
%Regularität
 $g^*_{H,rel} = 78$
 $g^*_{C,rel} = 100$



SRS18a; adaptierte CIELAB-Daten

	$L^*=L^*_a$	a^*_a	b^*_a	$C^*_{ab,a}$	$h^*_{ab,a}$
O _{Ma}	56.71	67.03	38.7	77.4	30
Y _{Ma}	56.71	0.0	77.4	77.4	90
L _{Ma}	56.71	-67.02	38.7	77.4	150
C _{Ma}	56.71	-67.02	-38.69	77.4	210
V _{Ma}	56.71	0.0	-77.39	77.4	270
M _{Ma}	56.71	67.03	-38.69	77.4	330
N _{Ma}	18.01	0.0	0.0	0.0	0
W _{Ma}	95.41	0.0	0.0	0.0	0
R _{CIE}	39.92	58.74	27.99	65.07	25
J _{CIE}	81.26	-2.88	71.56	71.62	92
G _{CIE}	52.23	-42.41	13.6	44.55	162
B _{CIE}	30.57	1.41	-46.46	46.49	272

%Umfang
 $u^*_{rel} = 100$
%Regularität
 $g^*_{H,rel} = 100$
 $g^*_{C,rel} = 100$

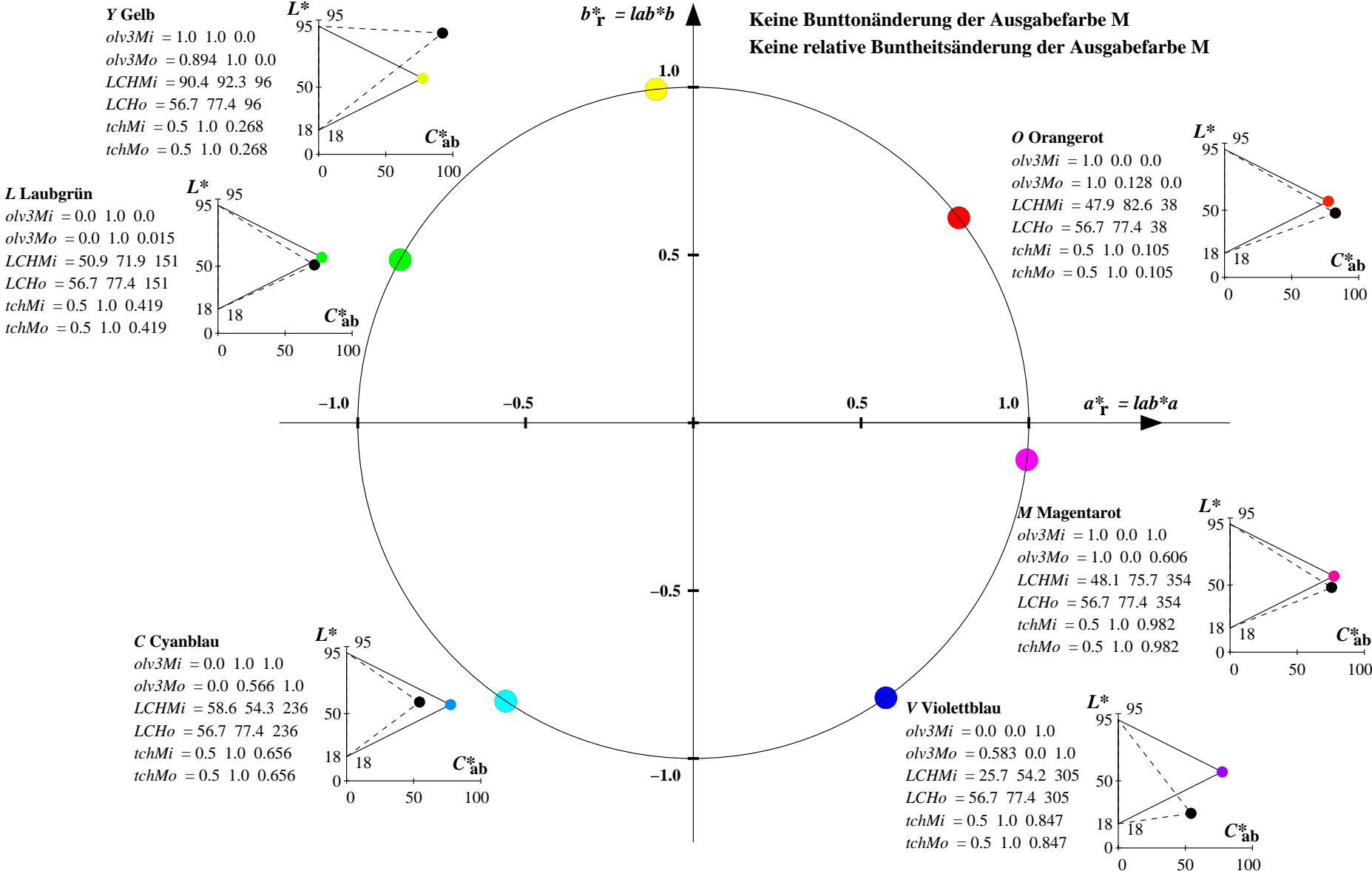


SRS18

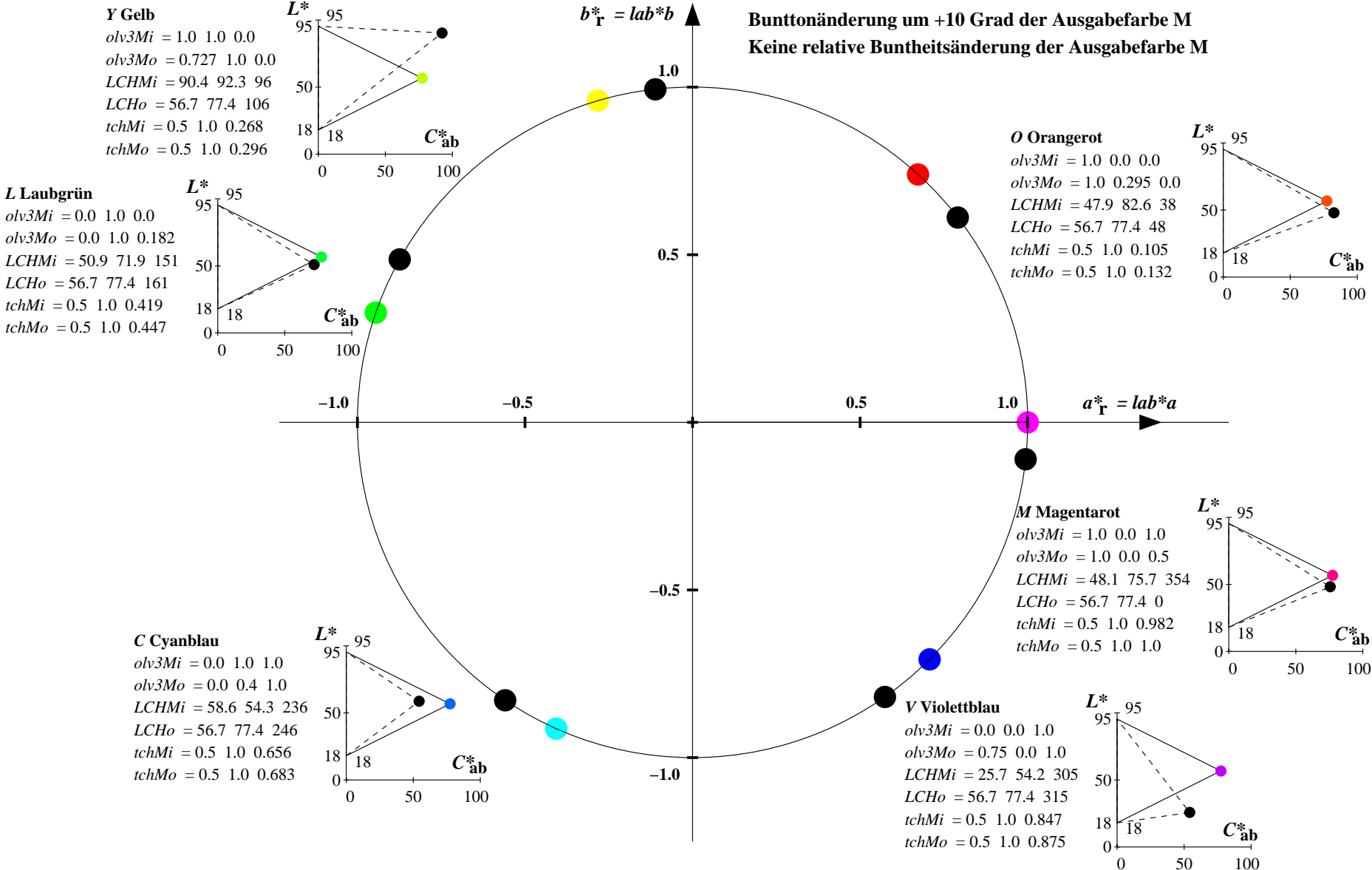
	$L^*=L^*_a$	a^*_a	b^*_a	$C^*_{ab,a}$	$h^*_{ab,a}$
O _M	56.71	67.03	38.7	77.4	30
Y _M	56.71	0.0	77.4	77.4	90
L _M	56.71	-67.02	38.7	77.4	150
C _M	56.71	-67.02	-38.69	77.4	210
V _M	56.71	0.0	-77.39	77.4	270
M _M	56.71	67.03	-38.69	77.4	330
N _M	18.01	0.0	0.0	0.0	0
W _M	95.41	0.0	0.0	0.0	0
R _{CIE}	39.92	58.74	27.99	65.07	25
J _{CIE}	81.26	-2.88	71.56	71.62	92
G _{CIE}	52.23	-42.41	13.6	44.55	162
B _{CIE}	30.57	1.41	-46.46	46.49	272

%Umfang
 $u^*_{rel} = 100$
%Regularität
 $g^*_{H,rel} = 100$
 $g^*_{C,rel} = 100$

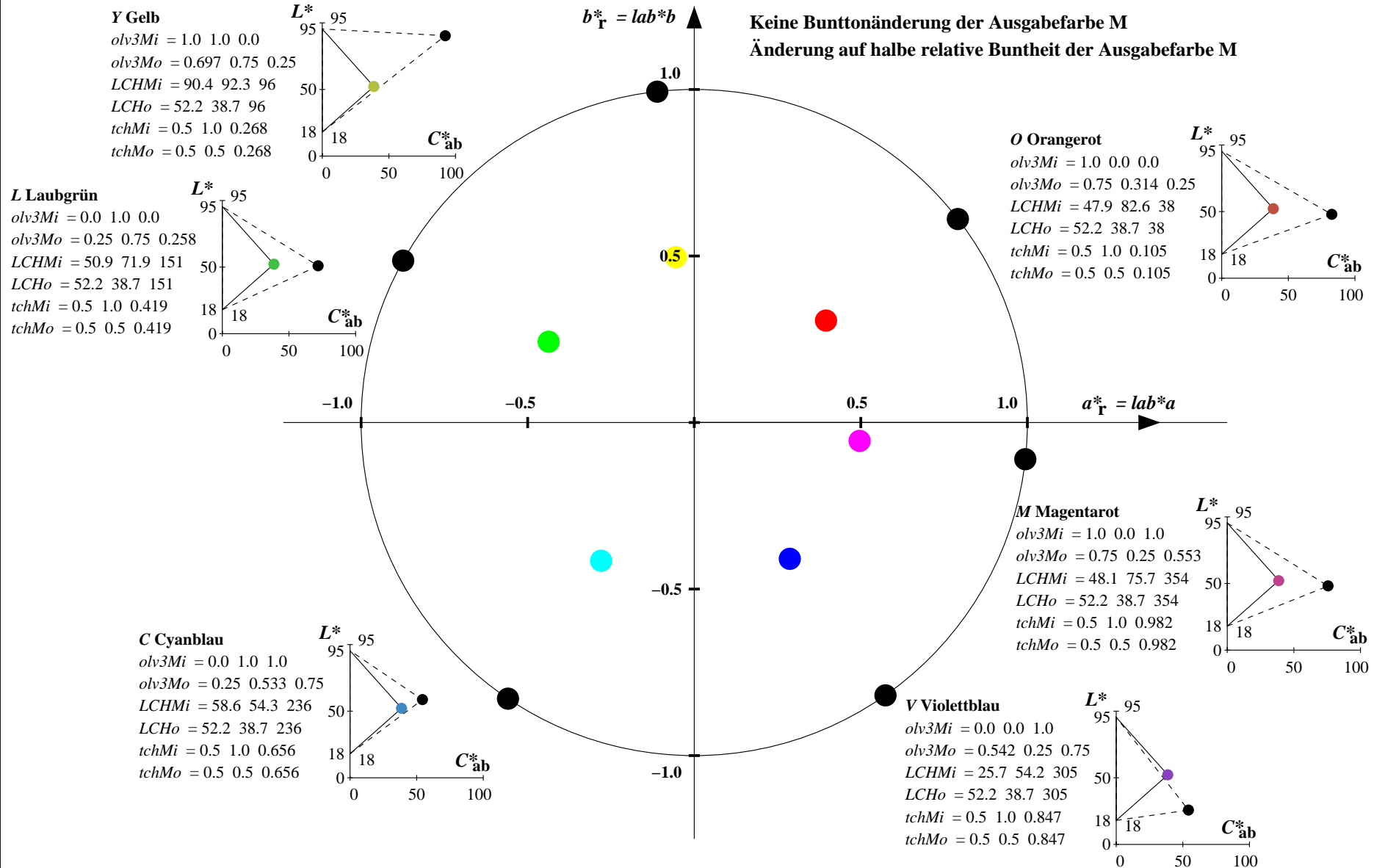
Relatives CIELAB-Buntheitsdiagramm: ($a^*_R = lab^*a$, $b^*_R = lab^*b$) und absolutes CIELAB Bunttondreiecks-Diagramm: (L^* , C^*_{ab}) für Ein- (---) und Ausgabe (----) ORS18: Ausgabe (i) Farbmatrik-System; Sechs Bunttonwinkel des Farbgerätes: (37.7, 96.4, 150.9, 236.0, 305.0, 353.7); Vier Bunttonwinkel der Elementarfarben: (24.7, 91.8, 164.5, 271.4) SRS18: Ausgabe (o) Farbmatrik-System; Sechs Bunttonwinkel des Farbgerätes: (30.0, 90.0, 150.0, 210.0, 270.0, 330.0); Vier Bunttonwinkel der Elementarfarben: (25.5, 92.3, 162.2, 271.7)

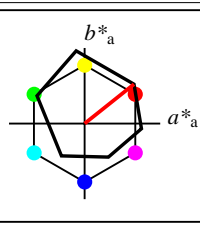


Relatives CIELAB-Buntheitsdiagramm: ($a^*_R = lab^*a$, $b^*_R = lab^*b$) und absolutes CIELAB Bunttondreiecks-Diagramm: (L^* , C^*_{ab}) für Ein- (---) und Ausgabe (----) ORS18: Ausgabe (i) Farbmatrik-System; Sechs Bunttonwinkel des Farbgerätes: (37.7, 96.4, 150.9, 236.0, 305.0, 353.7); Vier Bunttonwinkel der Elementarfarben: (24.7, 91.8, 164.5, 271.4) SRS18: Ausgabe (o) Farbmatrik-System; Sechs Bunttonwinkel des Farbgerätes: (30.0, 90.0, 150.0, 210.0, 270.0, 330.0); Vier Bunttonwinkel der Elementarfarben: (25.5, 92.3, 162.2, 271.7)



Relatives CIELAB-Buntheitsdiagramm: ($a^*_R = lab^*a$, $b^*_R = lab^*b$) und absolutes CIELAB Bunttondreiecks-Diagramm: (L^* , C^*_{ab}) für Ein- (---) und Ausgabe (----) ORS18: Ausgabe (i) Farbmatrik-System; Sechs Bunttonwinkel des Farbgerätes: (37.7, 96.4, 150.9, 236.0, 305.0, 353.7); Vier Bunttonwinkel der Elementarfarben: (24.7, 91.8, 164.5, 271.4) SRS18: Ausgabe (o) Farbmatrik-System; Sechs Bunttonwinkel des Farbgerätes: (30.0, 90.0, 150.0, 210.0, 270.0, 330.0); Vier Bunttonwinkel der Elementarfarben: (25.5, 92.3, 162.2, 271.7)

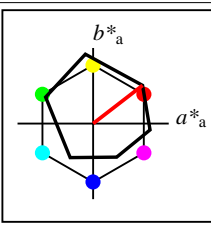




ORS18

	$L^*=L^*_a$	a^*_a	b^*_a	$C^*_{ab,a}$	$h^*_{ab,a}$
O _M	47.94	65.31	52.07	83.53	39
Y _M	90.37	-11.15	96.17	96.82	97
L _M	50.9	-62.96	36.71	72.89	150
C _M	58.62	-30.62	-42.74	52.59	234
V _M	25.72	31.45	-44.35	54.38	305
M _M	48.13	75.2	-6.79	75.51	355
N _M	18.01	0.5	-0.46	0.69	317
W _M	95.41	-0.98	4.76	4.86	102
R _{CIE}	39.92	58.74	27.99	65.07	25
J _{CIE}	81.26	-2.88	71.56	71.62	92
G _{CIE}	52.23	-42.41	13.6	44.55	162
B _{CIE}	30.57	1.41	-46.46	46.49	272

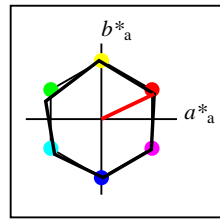
%Umfang
 $u^*_{rel} = 94$
%Regularität
 $g^*_{H,rel} = 58$
 $g^*_{C,rel} = 54$



ORS18a; adaptierte CIELAB-Daten

	$L^*=L^*_a$	a^*_a	b^*_a	$C^*_{ab,a}$	$h^*_{ab,a}$
O _{Ma}	47.94	65.39	50.52	82.63	38
Y _{Ma}	90.37	-10.26	91.75	92.32	96
L _{Ma}	50.9	-62.83	34.96	71.91	151
C _{Ma}	58.62	-30.34	-45.01	54.3	236
V _{Ma}	25.72	31.1	-44.4	54.22	305
M _{Ma}	48.13	75.28	-8.36	75.74	354
N _{Ma}	18.01	0.0	0.0	0.0	0
W _{Ma}	95.41	0.0	0.0	0.0	0
R _{CIE}	39.92	58.66	26.98	64.57	25
J _{CIE}	81.26	-2.16	67.76	67.79	92
G _{CIE}	52.23	-42.25	11.76	43.87	164
B _{CIE}	30.57	1.15	-46.84	46.86	271

%Umfang
 $u^*_{rel} = 93$
%Regularität
 $g^*_{H,rel} = 57$
 $g^*_{C,rel} = 59$

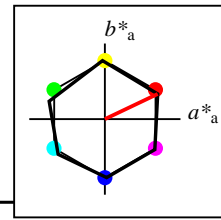


NRS18a; adaptierte CIELAB-Daten

	$L^*=L^*_a$	a^*_a	b^*_a	$C^*_{ab,a}$	$h^*_{ab,a}$
O _{Ma}	56.71	69.87	33.29	77.4	25
Y _{Ma}	56.71	-3.1	77.34	77.4	92
L _{Ma}	56.71	-73.68	23.63	77.39	162
C _{Ma}	56.71	-61.81	-46.54	77.39	217
V _{Ma}	56.71	2.35	-77.34	77.39	272
M _{Ma}	56.71	66.07	-40.3	77.4	329
N _{Ma}	18.01	0.0	0.0	0.0	0
W _{Ma}	95.41	0.0	0.0	0.0	0
R _{CIE}	39.92	58.74	27.99	65.07	25
J _{CIE}	81.26	-2.88	71.56	71.62	92
G _{CIE}	52.23	-42.41	13.6	44.55	162
B _{CIE}	30.57	1.41	-46.46	46.49	272

%Umfang
 $u^*_{rel} = 100$
%Regularität
 $g^*_{H,rel} = 78$
 $g^*_{C,rel} = 100$

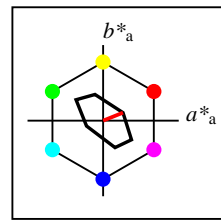
Workflow-Wahlen
für Farbmuster:
1. keine Farbänderung
2. Bunnton-Änderung
3. Buntheits-Änderung



NRS18a; adaptierte CIELAB-Daten

	$L^*=L^*_a$	a^*_a	b^*_a	$C^*_{ab,a}$	$h^*_{ab,a}$
O _{Ma}	56.71	69.87	33.29	77.4	25
Y _{Ma}	56.71	-3.1	77.34	77.4	92
L _{Ma}	56.71	-73.68	23.63	77.39	162
C _{Ma}	56.71	-61.81	-46.54	77.39	217
V _{Ma}	56.71	2.35	-77.34	77.39	272
M _{Ma}	56.71	66.07	-40.3	77.4	329
N _{Ma}	18.01	0.0	0.0	0.0	0
W _{Ma}	95.41	0.0	0.0	0.0	0
R _{CIE}	39.92	58.74	27.99	65.07	25
J _{CIE}	81.26	-2.88	71.56	71.62	92
G _{CIE}	52.23	-42.41	13.6	44.55	162
B _{CIE}	30.57	1.41	-46.46	46.49	272

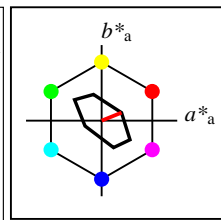
%Umfang
 $u^*_{rel} = 100$
%Regularität
 $g^*_{H,rel} = 78$
 $g^*_{C,rel} = 100$



TLS70a; adaptierte CIELAB-Daten

	$L^*=L^*_a$	a^*_a	b^*_a	$C^*_{ab,a}$	$h^*_{ab,a}$
O _{Ma}	76.43	26.27	10.57	28.32	22
Y _{Ma}	93.93	-10.76	34.63	36.27	107
L _{Ma}	89.32	-35.8	27.64	45.24	142
C _{Ma}	90.93	-21.95	-7.07	23.07	198
V _{Ma}	72.1	15.76	-35.63	38.97	294
M _{Ma}	78.5	37.52	-25.23	45.22	326
N _{Ma}	69.7	0.0	0.0	0.0	0
W _{Ma}	95.41	0.0	0.0	0.0	0
R _{CIE}	39.92	58.74	27.99	65.07	25
J _{CIE}	81.26	-2.88	71.56	71.62	92
G _{CIE}	52.23	-42.41	13.6	44.55	162
B _{CIE}	30.57	1.41	-46.46	46.49	272

%Umfang
 $u^*_{rel} = 16$
%Regularität
 $g^*_{H,rel} = 34$
 $g^*_{C,rel} = 51$

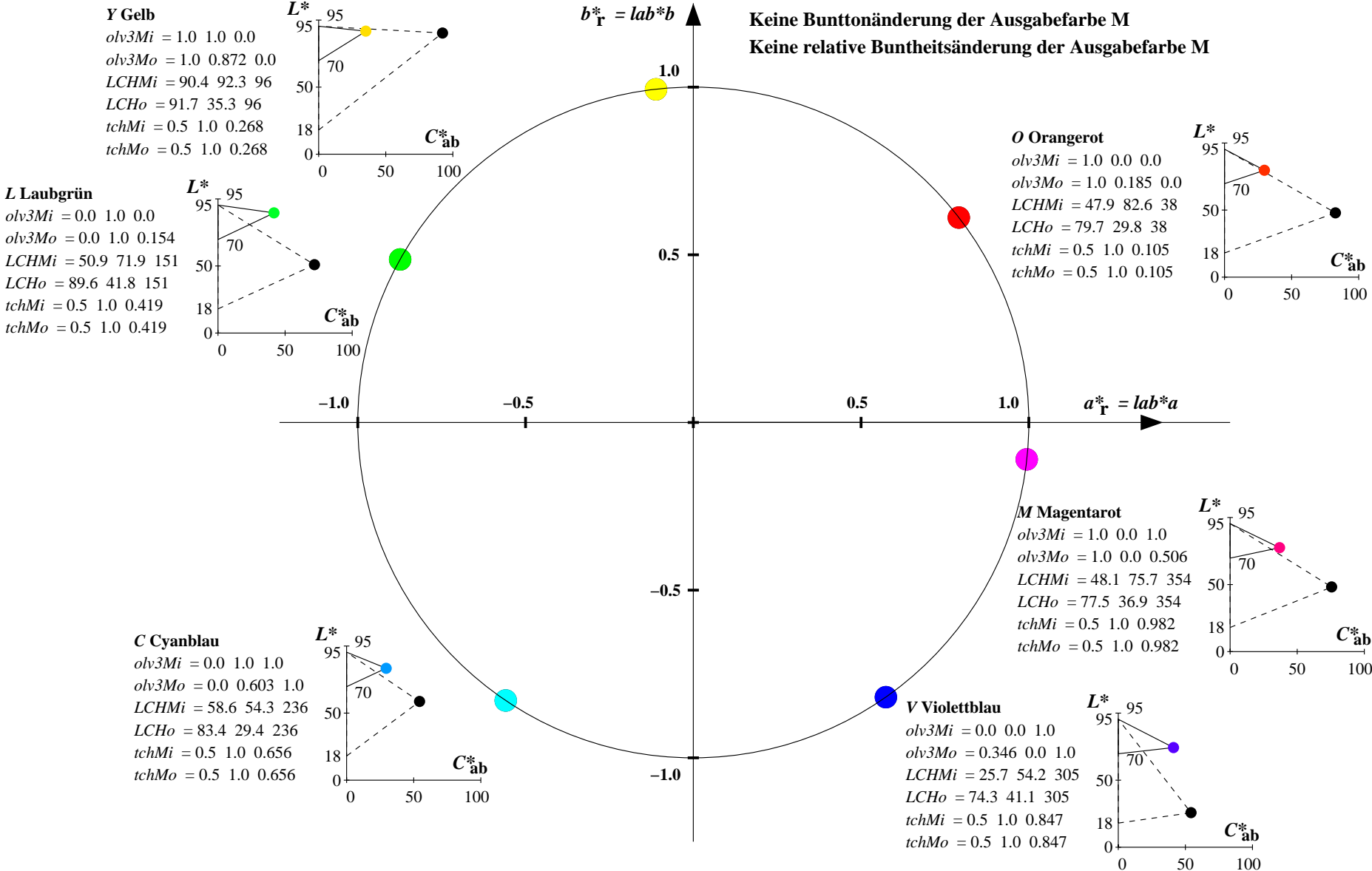


TLS70

	$L^*=L^*_a$	a^*_a	b^*_a	$C^*_{ab,a}$	$h^*_{ab,a}$
O _M	76.43	26.27	10.57	28.32	22
Y _M	93.93	-10.76	34.63	36.27	107
L _M	89.32	-35.8	27.64	45.24	142
C _M	90.93	-21.95	-7.07	23.07	198
V _M	72.1	15.76	-35.63	38.97	294
M _M	78.5	37.52	-25.23	45.22	326
N _M	69.7	0.0	0.0	0.0	0
W _M	95.41	0.0	0.0	0.0	0
R _{CIE}	39.92	58.74	27.99	65.07	25
J _{CIE}	81.26	-2.88	71.56	71.62	92
G _{CIE}	52.23	-42.41	13.6	44.55	162
B _{CIE}	30.57	1.41	-46.46	46.49	272

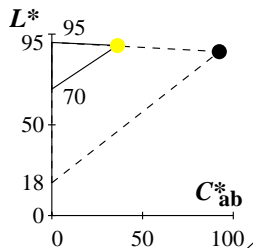
%Umfang
 $u^*_{rel} = 16$
%Regularität
 $g^*_{H,rel} = 34$
 $g^*_{C,rel} = 51$

Relatives CIELAB-Buntheitsdiagramm: ($a^*_R = lab^*a$, $b^*_R = lab^*b$) und absolutes CIELAB Bunttondreiecks-Diagramm: (L^* , C^*_{ab}) für Ein- (---) und Ausgabe (----) ORS18: Eingabe (i) Farbmetriek-System; Sechs Bunttonwinkel des Farbgerätes: (37.7, 96.4, 150.9, 236.0, 305.0, 353.7); Vier Bunttonwinkel der Elementarfarben: (24.7, 91.8, 164.5, 271.4) TLS70: Ausgabe (o) Farbmetriek-System; Sechs Bunttonwinkel des Farbgerätes: (21.9, 107.3, 142.3, 197.9, 293.9, 326.1); Vier Bunttonwinkel der Elementarfarben: (25.5, 92.3, 162.2, 271.7)



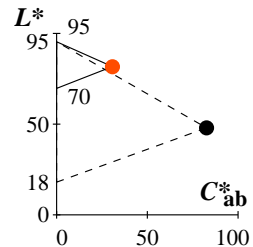
Relatives CIELAB-Buntheitsdiagramm: ($a^*_R = lab^*a$, $b^*_R = lab^*b$) und absolutes CIELAB Bunttondreiecks-Diagramm: (L^* , C^*_{ab}) für Ein- (---) und Ausgabe (----) ORS18: Eingabe (i) Farbmatrik-System; Sechs Bunttonwinkel des Farbgerätes: (37.7, 96.4, 150.9, 236.0, 305.0, 353.7); Vier Bunttonwinkel der Elementarfarben: (24.7, 91.8, 164.5, 271.4) TLS70: Ausgabe (o) Farbmatrik-System; Sechs Bunttonwinkel des Farbgerätes: (21.9, 107.3, 142.3, 197.9, 293.9, 326.1); Vier Bunttonwinkel der Elementarfarben: (25.5, 92.3, 162.2, 271.7)

Y Gelb
 $olv3Mi = 1.0 \ 1.0 \ 0.0$
 $olv3Mo = 1.0 \ 0.99 \ 0.0$
 $LCHMi = 90.4 \ 92.3 \ 96$
 $LCHo = 93.7 \ 36.2 \ 106$
 $tchMi = 0.5 \ 1.0 \ 0.268$
 $tchMo = 0.5 \ 1.0 \ 0.296$

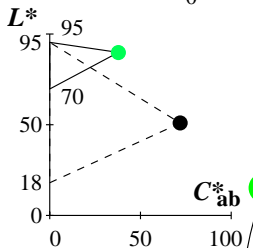


**Bunttonänderung um +10 Grad der Ausgabefarbe M
Keine relative Buntheitsänderung der Ausgabefarbe M**

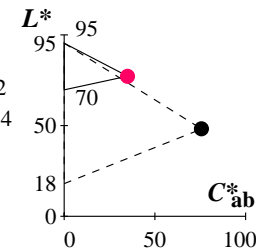
O Orangerot
 $olv3Mi = 1.0 \ 0.0 \ 0.0$
 $olv3Mo = 1.0 \ 0.302 \ 0.0$
 $LCHMi = 47.9 \ 82.6 \ 38$
 $LCHo = 81.7 \ 30.7 \ 48$
 $tchMi = 0.5 \ 1.0 \ 0.105$
 $tchMo = 0.5 \ 1.0 \ 0.132$



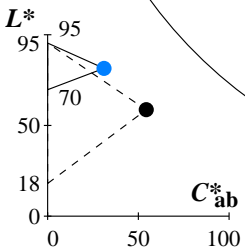
L Laubgrün
 $olv3Mi = 0.0 \ 1.0 \ 0.0$
 $olv3Mo = 0.0 \ 1.0 \ 0.335$
 $LCHMi = 50.9 \ 71.9 \ 151$
 $LCHo = 89.9 \ 37.8 \ 161$
 $tchMi = 0.5 \ 1.0 \ 0.419$
 $tchMo = 0.5 \ 1.0 \ 0.447$



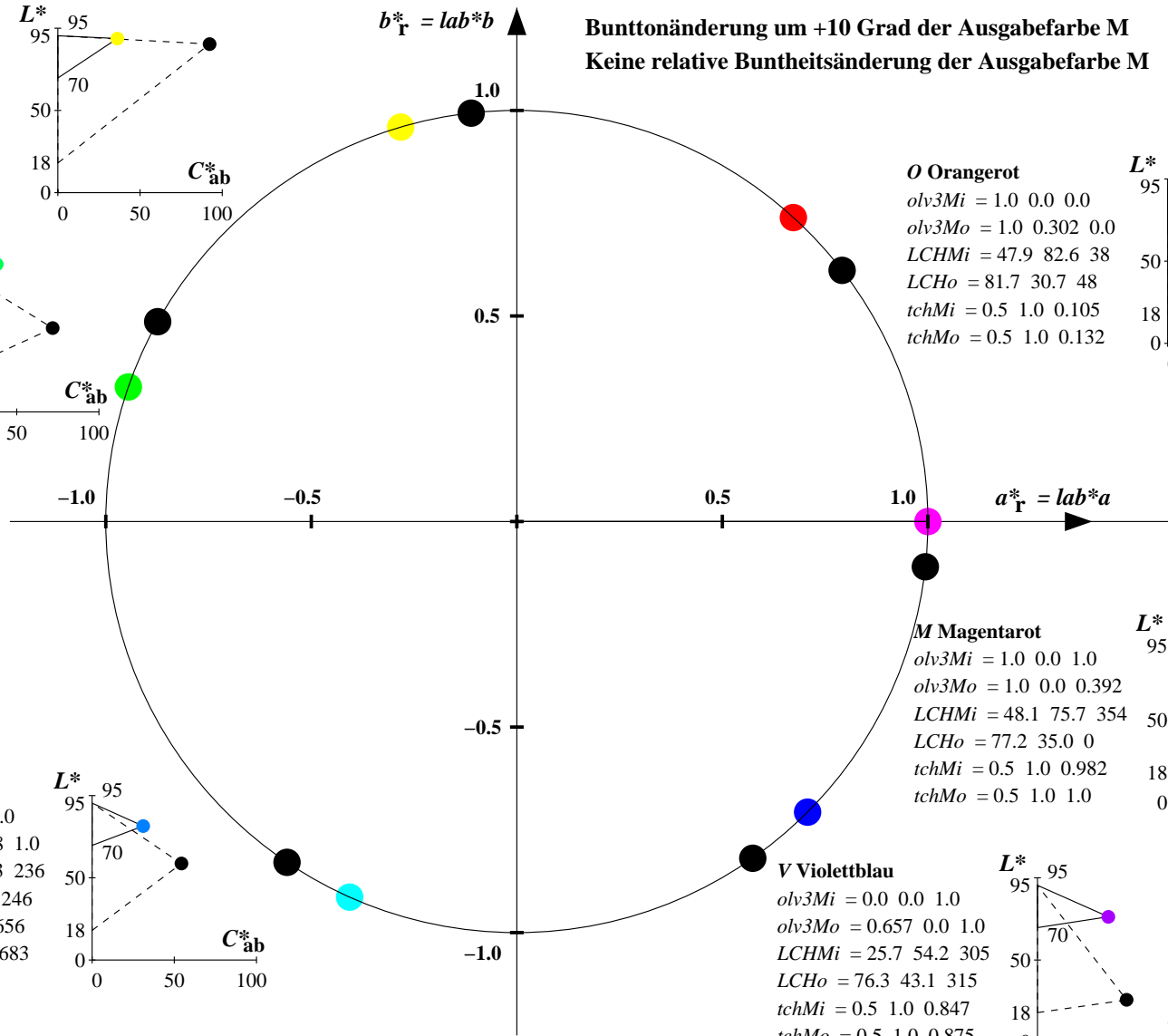
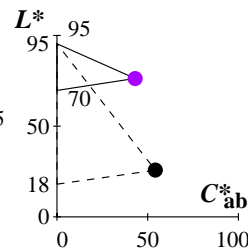
M Magentarot
 $olv3Mi = 1.0 \ 0.0 \ 1.0$
 $olv3Mo = 1.0 \ 0.0 \ 0.392$
 $LCHMi = 48.1 \ 75.7 \ 354$
 $LCHo = 77.2 \ 35.0 \ 0$
 $tchMi = 0.5 \ 1.0 \ 0.982$
 $tchMo = 0.5 \ 1.0 \ 1.0$



C Cyanblau
 $olv3Mi = 0.0 \ 1.0 \ 1.0$
 $olv3Mo = 0.0 \ 0.498 \ 1.0$
 $LCHMi = 58.6 \ 54.3 \ 236$
 $LCHo = 81.5 \ 31.0 \ 246$
 $tchMi = 0.5 \ 1.0 \ 0.656$
 $tchMo = 0.5 \ 1.0 \ 0.683$



V Violettblau
 $olv3Mi = 0.0 \ 0.0 \ 1.0$
 $olv3Mo = 0.657 \ 0.0 \ 1.0$
 $LCHMi = 25.7 \ 54.2 \ 305$
 $LCHo = 76.3 \ 43.1 \ 315$
 $tchMi = 0.5 \ 1.0 \ 0.847$
 $tchMo = 0.5 \ 1.0 \ 0.875$



Relatives CIELAB-Buntheitsdiagramm: ($a^*_R = lab^*a$, $b^*_R = lab^*b$) und absolutes CIELAB Bunttondreiecks-Diagramm: (L^* , C^*_{ab}) für Ein- (---) und Ausgabe (----) ORS18: Eingabe (i) Farbmatrik-System; Sechs Bunttonwinkel des Farbgerätes: (37.7, 96.4, 150.9, 236.0, 305.0, 353.7); Vier Bunttonwinkel der Elementarfarben: (24.7, 91.8, 164.5, 271.4) TLS70: Ausgabe (o) Farbmatrik-System; Sechs Bunttonwinkel des Farbgerätes: (21.9, 107.3, 142.3, 197.9, 293.9, 326.1); Vier Bunttonwinkel der Elementarfarben: (25.5, 92.3, 162.2, 271.7)

